

3 章 設計法の違いによるコスト縮減効果の比較

3.1 はじめに

プレートガーダーの腹板の補剛設計については、古くは鋼重削減を目的とし腹板厚を薄くし、腹板の座屈を防止するため多くの垂直・水平補剛材を配置する所謂多補剛設計が行われてきた。しかしながら、鋼材の低価格化、労務単価の高騰により製作コストのうち労務費の占める割合が増えている近年では、多少板厚が増加しても補剛材の数を減らすことで労務費の割合を減じ製作コストを抑える少補剛設計にシフトしている。

旧建設省が提唱した鋼道路橋設計ガイドライン（案）では、道路橋示方書の規定の範囲内で水平補剛材段数を少なくすることで製作コストの低減を図っているが、近年の日本道路公団発注の工事では、主桁の応力状態に応じたアスペクト比の見直し、腹板の安定性照査方法の提案により、道路橋示方書の規定に拘らない少補剛薄板設計が試みられている。その他、曲げモーメントへの抵抗には寄与せずせん断力に対してのみ抵抗する波形ウェブ、欧米の基準等で採用されているコンパクト、ノンコンパクトの区分を取り入れた限界状態設計法などの研究が進められている。

本グループでは、あるモデル橋梁を対象に前述の多種の設計法により試設計を行い、その結果をもとに製作コストを試算し比較することで、それぞれの設計法によるコスト縮減効果を具体例にて確認するものである。このとき、本テーマは設計法の提案を目的とするものではないため、既存の設計基準あるいは研究成果を用いて試設計を行うこととする。

3.2 検討方針

3.2.1 検討対象モデル橋梁

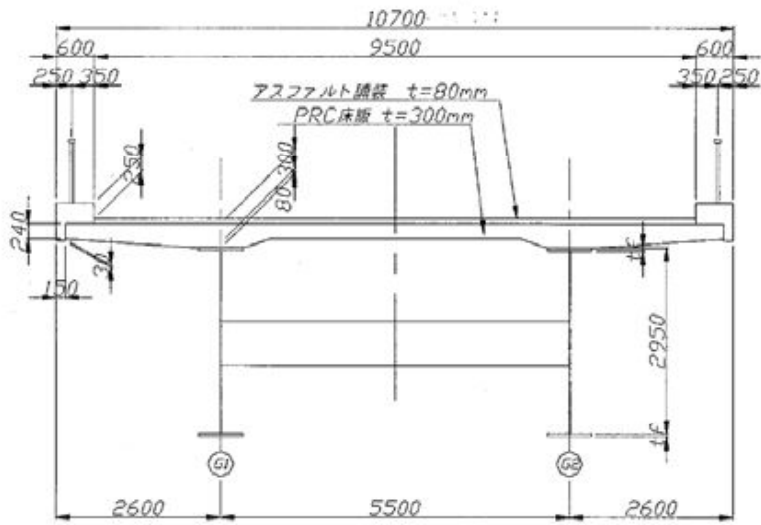
検討の対象とするモデル橋梁は、「連続合成 2 主桁橋の設計例と解説」（日本橋梁建設協会 平成 17 年 8 月）に設計例として示される 3 径間連続 2 主桁橋とする。モデル橋梁の構造一般図および断面構成図を図-3.2.1 に示す。

3.2.2 検討方法

3.2.1 で示した文献に示される設計例をもとに、各設計法での試設計を行う。試設計は主桁の断面計算について行うこととし、床版、ずれ止めは検討対象から除外する。設計断面力は設計例に示される断面力算出結果を用いる。ただし、断面決定後の断面力の再計算は作業量が多いことを勘案し行わないこととする。

また、断面計算は橋梁の対象性から片側主桁の第 1 支間～第 2 支間中央までの 7 断面について行い、断面変化位置、ブロック数等は設計例に倣うものとする。

断面図



側面図



平面図

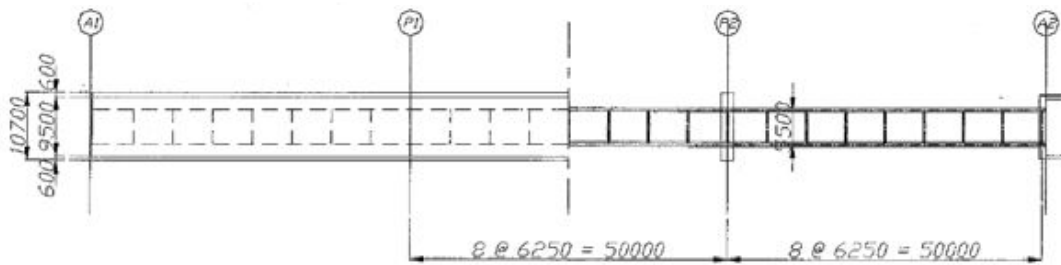


図-3.2.1 モデル橋梁構造一般図

5.4.2 断面構成図

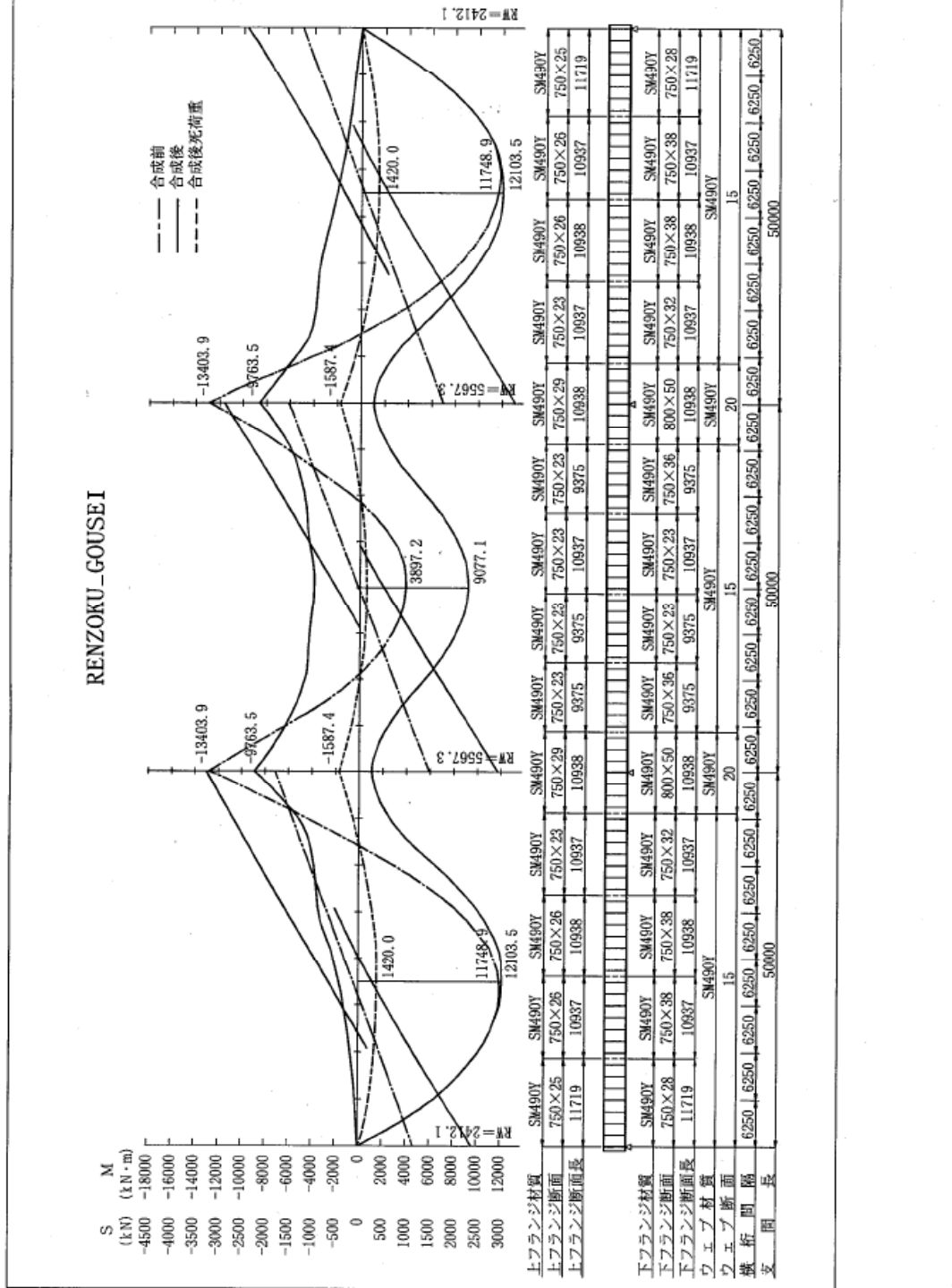


図-3.2.2 モデル橋梁断面構成図

以下の3つの設計法にて試設計を行い比較するものとする。設計法の概要については後述する。

- (1) 腹板の設計に JH 少補剛薄板設計を取り入れたケース
- (2) 腹板を波形ウェブとしたケース
- (3) 限界状態設計により設計を行ったケース

3.2.3 コスト比較

各設計法での検討結果をもとに、桁製作コストに着目したコスト比較を行う。検討結果より桁製作コスト算出に必要な数量（鋼材重量，材片数，大型材片溶接延長）を集計し，桁製作コストを算出する。

3.3 各設計法の概要

以下に、検討を行う各設計法の概要を示す。

3.2.1 JH 少補剛薄板設計による合成桁の断面検討

3.2.1.1 検討条件

「連続合成桁 2 主桁橋の設計例と解説」(日本橋梁建設協会 平成 17 年 8 月) に設計例として示される 3 径間連続 2 主桁橋をモデル橋梁とし、JH 少補剛設計による場合の断面検討を行う。

- (1) 対傾構間隔 6250mm は変えずに、その間の補剛材を省略することとする。よって最大アスペクト比は $6250/2950=2.12$ となる。
- (2) 正曲げ範囲のみ採用するため、適用断面は SECT1, 2, 3, 7 とする。
- (3) 水平補剛材間隔配置は断面力分布から推定するものとし、詳細な検討は行っていない。
- (4) 補剛材断面は従来設計の検討より SECT-5 以外は V.Stiff: 180x14, H.Stiff:160x13, SECT-5 は V.Stiff:220x17,H.Stiff:190x15 とする。支点上補剛材、横桁・対傾構位置も同じ断面とする。

3.2.1.2 断面決定方法

(1) 応力勾配 ψ について

応力勾配 ψ は図-3.3.1 に示すように、合成前の前死荷重応力状態と合成後の後死荷重+活荷重応力状態を重ね合わせた設計上の応力勾配である。なお、下フランジの応力は孔引きを考慮しない応力を用いる。

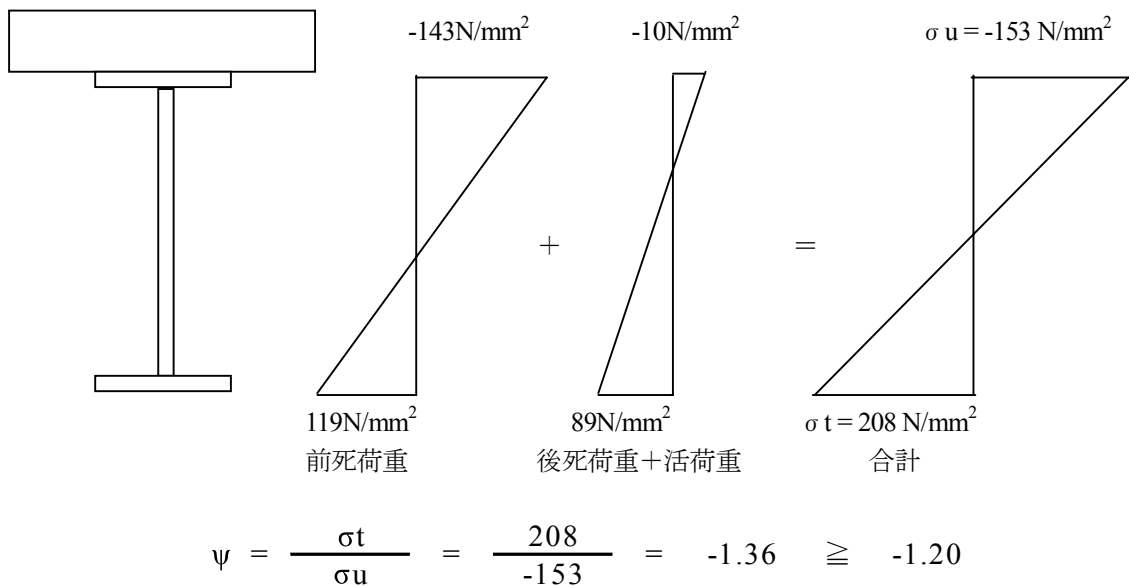


図-3.3.1 応力勾配 ψ

(2) 腹板厚の低減について

降伏限界幅厚比を適用して腹板厚の薄板化を図る.

腹板厚の薄板化手順

① 式(1)により上フランジの Rf を算出する

$$R = \sqrt{\left(\frac{\sigma_y}{\sigma_{cr}}\right)} = \frac{b}{t} \sqrt{\left(\frac{12(1-\nu^2)\sigma_y}{k\pi^2 E}\right)} \quad \dots \text{式(1)}$$

ここに, σ_y : 降伏点(N/mm²), σ_{cr} : 弾性座屈応力(N/mm²),

b : フランジの腹板間隔(mm)<Rf の場合>, 腹板高(mm)<Rw の場合>, t : 板厚(mm)

E : ヤング係数(N/mm²), ν : ポアソン比, k : 座屈係数 フランジ: 2.31, ウェブ: 23.9

② 算出された Rf を用いて, 表-3.3.1 より腹板の幅厚比 h/tw を求める.

表-3.3.1 少補剛薄板化した腹板の幅厚比 h/tw

Rf		0.47	0.43	0.39	0.34	0.3	0.26	0.21	0.17	0.13
Rw		1.2	1.24	1.29	1.33	1.37	1.42	1.46	1.51	1.55
h/tw	SM400	165	171	177	180	180	180	180	180	180
	SM490Y	134	139	144	149	154	159	164	169	174
	SM570	119	123	128	132	137	141	145	150	154

③ 求めた h/tw により, 腹板厚を決定する.

(3) 安定性の照査について

少補剛薄板化設計における腹板の安定性照査は, 各腹板パネル内の設計最大断面力を対象に, 曲げとせん断の組合せ終局状態に対する安全性照査として, (2)式を用いて照査することとした.

$$\left[\frac{1.7M}{My}\right]^4 + \left[\frac{1.7Q}{Qu}\right]^4 \leq 1.0 \quad \dots \text{式(2)}$$

ここに,

M/My: 各荷重の設計モーメントに対する下フランジ応力の組合せ計算を行い, その合計最大応力(常時換算値) σ_L の公称降伏点 σ_y に対する比として評価してよい

Q/My: 腹板の平均せん断応力(ねじり応力を含む)の組合せ最大応力 τ から, 腹板の設計せん断応力 Q を逆算し, (3)式に示される Basler のせん断強度 Qu で無次元化する.

Basler の算出式

$$\frac{Qu}{Qp} = \frac{\tau_{cr}^e}{\tau_y} + \frac{\sqrt{3}}{2} \times \frac{1 - \frac{\tau_{cr}^e}{\tau_y}}{\sqrt{1 + \alpha^2}} \quad \dots \text{式(3)}$$

ここに, Qp : 全塑性せん断力(kN), $Qp = 2 \cdot \tau_y \cdot h \cdot tw$

τ_y : 降伏せん断応力(N/mm²), $\tau_y = \sigma_y / \sqrt{3}$

α : アスペクト比, $\alpha = a/h$

τ_{cr}^e : せん断弾性座屈強度(N/mm²)

$$\tau_{cr}^e = K_s \cdot \frac{\pi^2 E}{12(1-\nu^2)} \left[\frac{tw}{h}\right]^2$$

ここに, h :腹板高さ(mm), t_w :腹板厚(mm), E :ヤング係数(N/mm²), ν :ポアソン比
 K_s :せん断応力度に対する座屈係数
 $k_s = 5.34 + 4.00 \times (1/\alpha)^2$: ($\alpha \square 1$)
 $k_s = 4.00 + 5.34 \times (1/\alpha)^2$: ($\alpha \square 1$)

(4) 鋼桁架設時の照査

上述の照査はあくまで連続合成桁としての完成系に対して行うものであり, 鋼桁のみの施工時については, 別途詳細に検討する必要がある. 鋼桁架設時や施工時などにおいては, 一時的に腹板が不安定になることも考えられるので, 実施設計に際しては, 道示Ⅱ10.4.2に示されている.

$$\left[\frac{t}{b} \right]^2 = \frac{\nu_B \sigma_c}{(425R_b)^2} \left\{ \frac{1+\psi}{4k_\sigma} + \sqrt{\left(\frac{3-\psi}{4k_\sigma} \right)^2 + \left(\frac{\eta}{k_\tau} \right)^2} \right\}$$

ここに,

ν_B : 曲げとせん断の組合せ作用時の座屈安全率 $\nu_B = 1.25 + (0.30 + 0.15\psi) e^{-4.3\eta} \square 1.25$
 σ_c : 腹板の大きい方の縁圧縮応力度(N/mm²), ϕ : 腹板の上下縁の応力比, 応力勾配 σ_1/σ
 η : 腹板に作用するせん断応力度と σ_c との比, τ/σ_c , R_b : $0.90 - 0.10\psi$
 k_σ : 垂直応力度に対する座屈係数 (DIN4114), k_τ : せん断応力度に対する座屈係数 (DIN4114)

3.2.2 波形鋼板ウェブを使用した合成桁の断面検討

3.2.2.1 検討方針

「連続合成桁 2 主桁橋の設計例と解説」（日本橋梁建設協会 平成 17 年 8 月）に設計例として示される 3 径間連続 2 主桁橋をモデル橋梁とし、腹板を波形鋼板ウェブに置き換えた場合の断面検討を行う。

3.2.2.2 断面決定方法

1. 上下フランジ

道路橋示方書・同解説 II 鋼橋編によるものとする。（断面諸元に腹板を考慮しないこととする。）

2. 腹板の設計

「新しい PC 橋の設計（山海堂）」（「新しい PC 橋の設計」編集委員会 2003 年 5 月）の設計例を参考に、波形鋼板ウェブの設計を行う。

(1) 設計荷重作用時の検討

設計荷重作用時の平均せん断応力度の算出は、次式により行う。

$$\tau_{ws} = \frac{S_w}{A_w} = \frac{S - S_p}{A_w}$$

ここに、 τ_{ws} : 波形鋼板ウェブに作用する平均せん断応力度
 S_w : 波形鋼板ウェブに作用する設計せん断力
 S : 設計せん断力
 S_p : プレストレスの鉛直分力
 A_w : 波形鋼板ウェブの断面積（波形鋼板の板厚×有効高）

(2) 終局荷重作用時の検討

1) 設計せん断力の算出

終局荷重作用時の設計せん断力は、以下の組合せとする。

- ① 1.3D+2.5L+F
- ② 1.0D+2.5L+F
- ③ 1.7(D+L)+F（下線部は、本検討の組合せ）

ここに、 D : 自重+橋面荷重
 L : 活荷重+衝撃
 F : 有効プレストレス 2 次力, クリーブ, 乾燥収縮

2) 終局荷重作用時の平均せん断応力度

終局荷重作用時の平均せん断応力度は、次式により求める。

$$\tau_{ws} = \frac{S_w}{A_w} = \frac{S_h - S_p}{A_w}$$

- ここに、 τ_{ws} : 波形鋼板ウェブに作用する平均せん断応力度
 S_w : 波形鋼板ウェブに作用する設計せん断力
 S_h : 部材の有効高の変化の影響を考慮したせん断力
 $S_h = S_u - \frac{M}{d} \tan \beta$
 β : 部材圧縮縁が部材となす角度
 S_u : 荷重による終局荷重時せん断力
 M : 荷重による終局荷重時曲げモーメント
 d : 有効高
 S_p : プレストレスの鉛直分力
 A_w : 波形鋼板ウェブの断面積 (波形鋼板の板厚×有効高)

(3) 座屈に対する検討

1) 局部座屈に対する照査

局部せん断座屈は、波形鋼板ウェブの折り目と折り目の間で発生する座屈現象である。

その弾性座屈強度 $\tau_{cr,L}^e$ は、等せん断応力下で2つの折り目間で単純支持された鋼帯板として、次式により計算できる。

$$\tau_{cr,L}^e = k \cdot \frac{\pi^2 E}{12(1-\mu^2)} \cdot \eta^2$$

- ここに、 k : せん断座屈係数 $k=4.00+5.34/\alpha^2$
 α : 縦横比 $\alpha=a/h$
 a : 波形鋼板ウェブのパネル幅
 h : 波形鋼板ウェブの高さ
 E : 波形鋼板のヤング係数
 μ : ポアソン比
 η : 幅厚比 $\eta=t/h$
 t : 波形鋼板の厚さ

次に、非弾性域を考慮した座屈強度 τ_{cr} を弾性座屈強度 $\tau_{cr,L}^e$ に対するパラメータ λ_s を用い、ひずみ硬化を無視した式で表すと、次式に示す座屈曲線が与えられる。

$$\begin{aligned} \tau_{cr}/\tau_y=1 & : \lambda_s \leq 0.6 \\ \tau_{cr}/\tau_y=1-0.614(\lambda_s-0.6) & : 0.6 < \lambda_s \leq \sqrt{2} \\ \tau_{cr}/\tau_y=1/\lambda_s^2 & : \sqrt{2} < \lambda_s \end{aligned}$$

2) 全体座屈に対する照査

全体せん断座屈は、上下スラブ間の波形鋼板ウェブ全体が座屈する現象で、その弾性座屈強度 $\tau_{cr,G}^e$ は Easley による式で求められる。

$$\tau_{cr,G}^e = 36\beta \cdot \{(E \cdot I_y)^{1/4} (E \cdot I_x)^{3/4}\} / (h^2 \cdot t)$$

ここに、 β : 材端の固定度を示す係数 (単純支持の場合 : 1.0, 固定支持の場合 : 1.9)

本検討では、安全側をとり $\beta=1.0$ とする。

I_x : 波形鋼板ウェブの橋軸方向中立軸に関する単位長さ当たりの断面 2 次モーメント

$$I_x = t^3 \cdot (\delta^2 + 1) / (6\eta)$$

δ : 波高板厚比 $\delta = d/t$

η : 長さ減少率 (波形鋼板の橋軸に沿った長さと波形に沿った長さの比)

I_y : 波形鋼板ウェブの高さ方向中立軸に関する単位長さ当たりの断面 2 次モーメント

$$I_y = t^3 / \{12(1 - \mu^2)\}$$

次に、局部座屈の場合と同様に全体座屈がせん断降伏応力度以下で生じない条件は、以下に示すとおりとなる。

$$\lambda_s \leq 0.6$$

ここに、 $\lambda_s = (\tau_y / \tau_{cr,G}^e)^{1/2}$

3) 連成座屈に対する照査

連成座屈は、局部座屈と全体座屈が複合して生じる座屈現象であり、そのせん断座屈強度算定式は局部座屈強度と全体座屈強度の累乗和相関式が用いられる。

$$\left(\frac{\tau_{cr}}{\tau_{cr,L}} \right)^m + \left(\frac{\tau_{cr}}{\tau_{cr,G}} \right)^n = 1$$

ここに、 τ_{cr} : 連成を考慮したせん断座屈強度

$\tau_{cr,L}$: 非弾性を考慮した局部座屈強度

$\tau_{cr,G}$: 非弾性を考慮した全体座屈強度

m, n : 局部座屈モードと全体座屈モードの相関を表す乗数

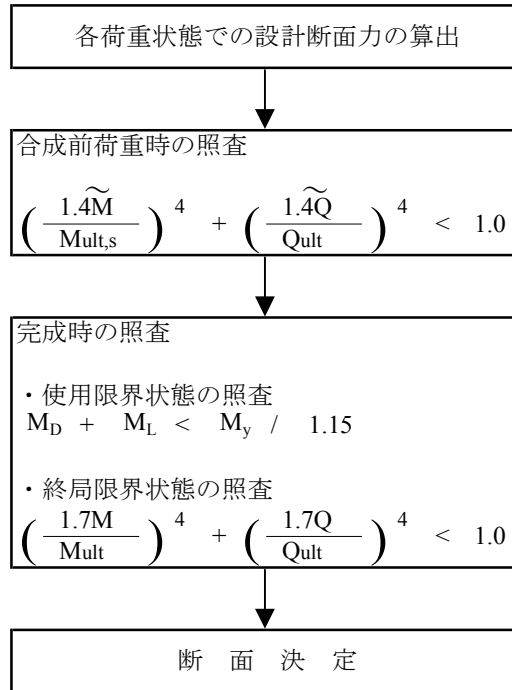
$m=n=4$ として上式を変換すると、連成を考慮したせん断座屈強度 τ_{cr} は下式で求めることができる。

$$\tau_{cr} = \tau_{cr,L} \cdot \left\{ \frac{1}{1 + (\tau_{cr,L} / \tau_{cr,G})^4} \right\}^{1/4}$$

3.2.3 限界状態設計法による合成桁の断面検討

鋼桁の限界状態設計法に関しては、現段階では国内に明確な基準がないため、以下の仮定のもとに検討を行う。

3.2.3.1 設計の流れ



3.2.3.2 合成前荷重時の照査

1. 照査式

合成前荷重時においては以下の式を満足することを確認する。

$$\left(\frac{1.4\tilde{M}}{M_{ult,s}} \right)^4 + \left(\frac{1.4\tilde{Q}}{Q_{ult}} \right)^4 < 1.0$$

ここに、

- \tilde{M} : 合成前荷重時における曲げモーメント
- \tilde{Q} : 合成前荷重時におけるせん断力
- $M_{ult,s}$: 2.により算出される鋼桁断面の終局曲げモーメント
- Q_{ult} : 5.により算出される終局せん断力

2. $M_{ult,s}$ の算出

三上の式によるものとし $\sigma_{ult,f}$ と $\sigma_{ult,w}$ の関係から以下のa) またはb) より算出する。

a) $\sigma_{ult,f} \leq \sigma_{ult,w}$ (圧縮フランジ強度 \leq ウェブ強度) のとき

$$\frac{M_{ult,s}}{M_y} = \frac{\sigma_{ult,f}}{\sigma_{yf}} \quad \dots\dots (1)$$

ここに、

- Mult,s : 鋼桁断面の終局曲げモーメント
- My : 鋼桁断面の降伏曲げモーメント
- σult,f : iii) により算出される鋼桁フランジの終局応力度
- σyf : 鋼桁フランジの降伏応力度

b) σult,f > σult,w (圧縮フランジ強度 > ウェブ強度) のとき

$$\frac{Mult}{My} = \frac{\sigma_{ult,w}}{\sigma_{yf}} \left\{ 1 + \frac{(1-\psi) \left(\frac{\sigma_{ult,f}}{\sigma_{ult,w}} - 1 \right)}{1 + \psi^2 \frac{A_{ft}}{A_{fc}} + (1+\psi+\psi^2) \frac{A_w}{3A_{fc}}} \right\} \dots\dots\dots (2)$$

ここに、

- Mult,s : 鋼桁断面の終局曲げモーメント
- My : 鋼桁断面の降伏曲げモーメント
- σult,f : iii) により算出される鋼桁フランジの終局応力度
- σult,w : iv) により算出される鋼桁ウェブの終局応力度
- σy : 鋼桁フランジの降伏応力度
- Aft : 引張フランジの断面積
- Afc : 圧縮フランジの断面積
- Aw : ウェブの断面積
- ψ : 応力勾配 ψ = - (σl / σu)

3. σult,fの算出

以下のa), b)のうち小さい方の値とする.

a) 横座屈により決定するフランジの終局応力度

$$\sigma_{crf,1}^e = \frac{\pi^2 E}{12} \left(\frac{bf}{L} \right)^2 \dots\dots\dots (3) \quad L : \text{固定点間距離}$$

$$\lambda = \sqrt{(\sigma_{yf} / \sigma_{crf,1}^e)} \dots\dots\dots (4)$$

$$\left. \begin{aligned} \sigma_{ult,1} / \sigma_{yf} &= 1 && \lambda \leq 0.2 \\ &= 1 - 0.412(\lambda - 0.2) && 0.2 < \lambda < \sqrt{2} \end{aligned} \right\} \dots\dots\dots (5) \quad (\text{福本式})$$

ここに、

- σcrf,1^e : 横座屈によるフランジの座屈応力度
- E : 鋼のヤング係数
- bf : 圧縮フランジの幅
- L : 圧縮フランジの固定点間距離
- λ : 圧縮フランジの幅厚比パラメータ

b) ねじれ座屈 (板の局部座屈) により決定するフランジの終局応力度

$$\sigma_{crf,2}^e = k_c \frac{\pi^2 E}{12(1-\nu^2)} \left(\frac{tf}{bf/2} \right)^2 \dots\dots\dots (6)$$

$$k_c = 0.425 \dots\dots\dots (7)$$

$$\lambda = \sqrt{(\sigma_{yf} / \sigma_{crf,2}^e)} \dots\dots\dots (8)$$

$$\left. \begin{aligned} \sigma_{ult,2}/\sigma_{yf} &= 1.0 & \lambda \leq 0.7 \\ &= (0.7/\lambda)^{0.64} & 0.7 < \lambda \end{aligned} \right\} \dots\dots\dots (9) \quad (\text{西村式})$$

ここに、

- $\sigma_{crf,2}^e$: ねじれ座屈によるフランジの座屈応力度
- E : 鋼のヤング係数
- v : 鋼のポアソン比
- tf : 圧縮フランジの板厚
- bf : 圧縮フランジの幅
- kc : 座屈係数 (3辺単純支持、1辺自由)
- λ : 圧縮フランジの幅厚比パラメータ

4. $\sigma_{ult,w}$ の算出

応力勾配 ψ により以下のa)~d)により算出する.

a) $\psi=-1$ (曲げ) のとき

$$\begin{aligned} \sigma_{cr}^e &= k_1 \frac{\pi^2 E}{12(1-\nu^2)} \left(\frac{tw}{hw} \right)^2 \\ *k_1 &= 23.9 \\ \lambda &= \sqrt{(\sigma_{yw}/\sigma_{cr})^e} \\ \left. \begin{aligned} \sigma_{ult,b}/\sigma_{yw} &= 1.0 & \lambda < 1.0 \\ &= (1.0/\lambda)^{0.72} & 1.0 < \lambda \end{aligned} \right\} (\text{西村式}) \end{aligned}$$

ここに、

- σ_{cr}^e : ウェブの座屈応力度
- k_1 : ウェブの座屈係数 ($\psi=-1$)
- E : 鋼のヤング係数
- v : 鋼のポアソン比
- tw : ウェブの板厚
- hw : ウェブの高さ
- λ : ウェブの幅厚比パラメータ
- σ_{yw} : ウェブの降伏応力度

b) $-7 \leq \psi \leq -1$ (曲げ、引張り) のとき

$$\begin{aligned} \sigma_{cr}^e &= k_1 \frac{\pi^2 E}{12(1-\nu^2)} \left(\frac{tw}{hw} \right)^2 \\ *k_1 &= 23.9 \left(\frac{1-\psi}{2} \right)^2 \\ \lambda &= \sqrt{(\sigma_{yw}/\sigma_{cr})^e} \\ \left. \begin{aligned} \sigma_{ult}/\sigma_{yw} &= 1.0 & \lambda < 1.0 \\ &= (1.0/\lambda)^{0.72} & 1.0 < \lambda \end{aligned} \right\} (\text{西村式}) \end{aligned}$$

ここに,

- σ_{cr}^e : ウェブの座屈応力度
- k_1 : ウェブの座屈係数 ($\psi=-1$)
- E : 鋼のヤング係数
- ν : 鋼のポアソン比
- t_w : ウェブの板厚
- h_w : ウェブの高さ
- λ : ウェブの幅厚比パラメータ
- σ_{yw} : ウェブの降伏応力度
- ψ : 応力勾配

c) $\psi=1$ (圧縮) のとき

$$\sigma_{cr}^e = k_1 \frac{\pi^2 E}{12(1-\nu^2)} \left(\frac{t_w}{h_w} \right)^2$$

$$^*k_1 = 4.0$$

$$\lambda = \sqrt{(\sigma_{yw}/\sigma_{cr}^e)}$$

$$\left. \begin{aligned} \sigma_{ult,c}/\sigma_{yw} &= 1.0 & \lambda < 0.7 \\ &= (0.7/\lambda)^{0.86} & 0.7 < \lambda \end{aligned} \right\} \text{(西村式)}$$

ここに,

- σ_{cr}^e : ウェブの座屈応力度
- k_1 : ウェブの座屈係数 ($\psi=1$)
- E : 鋼のヤング係数
- ν : 鋼のポアソン比
- t_w : ウェブの板厚
- h_w : ウェブの高さ
- λ : ウェブの幅厚比パラメータ
- σ_{yw} : ウェブの降伏応力度

d) $-1 \leq \psi < 1$ (曲げ、圧縮) のとき

$$\sigma_{ult} = \frac{1}{\frac{1+\psi}{2\sigma_{ult,c}} + \frac{1-\psi}{2\sigma_{ult,b}}}$$

ここに,

- ψ : 応力勾配
- $\sigma_{ult,c}$: iii) により算出されるウェブの終局応力度
- $\sigma_{ult,b}$: i) により算出されるウェブの終局応力度

5. Q_{ult} の算出

Baslerの式によるものとし下式により算出する.

$$\frac{Q_{ult}}{Q_p} = \frac{\tau_{cr}}{\tau_y} + \frac{\sqrt{3}}{2} \cdot \frac{1 - \frac{\tau_{cr}}{\tau_y}}{\sqrt{1+\alpha^2}}$$

ただし,

$$\left. \begin{aligned} \tau_{cr} &= \tau_{cr}^e & (\tau_{cr}^e \leq 0.8\tau_y) \\ &= \sqrt{(0.8\tau_y \cdot \tau_{cr}^e)} & (\tau_{cr}^e > 0.8\tau_y) \end{aligned} \right\}$$

ここに,

$$\begin{aligned} Q_p &: \text{全塑性せん断力, } Q_p = \tau_y \times b \times t_w \\ \tau_y &: \text{降伏せん断力(N/mm}^2\text{), } \tau_y = \sigma_y / \sqrt{3} \\ \tau_{cr}^e &: \text{せん断弾性座屈強度(N/mm}^2\text{)} \\ \tau_{cr}^e &= k_s \frac{\pi^2 E}{12(1-\mu^2)} \left(\frac{t_w}{b} \right)^2 \end{aligned}$$

また,

$$\begin{aligned} b &: \text{腹板高さ,} & t_w &: \text{腹板厚} \\ E &: \text{ヤング係数,} & \mu &: \text{ポアソン比} \\ \alpha &: \text{アスペクト比, } \alpha = a/b \\ k_s &: \text{せん断応力度に対する座屈係数} \end{aligned}$$

$$\left. \begin{aligned} k_s &= 5.34 + 4.00(1/\alpha)^2 & : (\alpha \geq 1) \\ k_s &= 4.00 + 5.34(1/\alpha)^2 & : (\alpha \leq 1) \end{aligned} \right\}$$

3.2.3.3 完成時の照査

1. 照査式

完成時においては以下の式を満足することを確認する。

・使用限界状態

$$M_D + M_L < M_y / 1.15$$

ここに,

$$\begin{aligned} M_D &: \text{死荷重による曲げモーメント} \\ M_L &: \text{活荷重による曲げモーメント} \\ M_y &: \begin{cases} \text{正曲げの場合} & \text{合成断面の降伏曲げモーメント} \\ \text{負曲げの場合} & \text{鋼桁+鉄筋断面の降伏曲げモーメント} \end{cases} \end{aligned}$$

・終局限界状態

$$\left(\frac{1.7M}{M_{ult}} \right)^4 + \left(\frac{1.7Q}{Q_{ult}} \right)^4 < 1.0$$

ここに,

$$\begin{aligned} M &: \text{完成時における曲げモーメント} \\ Q &: \text{完成時におけるせん断力} \\ M_{ult} &: \begin{cases} \text{正曲げの場合} & \text{2.により算出される合成断面の終局曲げモーメント} \\ \text{負曲げの場合} & \text{3.2.3.2.2.により算出される鋼桁+鉄筋断面の終局曲げモーメント} \end{cases} \\ Q_{ult} &: \text{3.2.3.2.5.により算出される終局せん断力} \end{aligned}$$

2. M_{ult} の算出

AASHTOの終局曲げモーメント算出式に従う。

3.4 断面計算結果

各設計法での断面計算結果を次頁以降に示す.

3.4.1 JH少補剛薄板設計での断面計算結果

					第1 径間		第2 径間		
					断面 1	断面 2	断面 3	断面 7	
					1-R	2-M	3-L	7-R	
応力勾配の判定	断面構成	U.Flg	材質		SM400	SM490Y	SM490Y	SM490Y	
			幅	bu	mm	750	750	750	750
			厚	tu	mm	24	26	25	23
		Web	材質		SM490Y	SM490Y	SM490Y	SM490Y	
			幅	hw	mm	2926	2924	2925	2927
			厚	tw	mm	21	21	21	21
	L.Flg	材質		SM400	SM490Y	SM490Y	SM490Y		
		幅	bl	mm	750	750	750	750	
		厚	tl	mm	24	38	35	23	
	設計断面力 (せん断力)	合成前死	①	Ss	KN	490.5	-97.2	-151.3	45.8
		合成後死	②	Svd	KN				
		活荷重	③	Svl	KN				
		合計	①+②+③	S	KN	1235.2	-590.7	-674.8	565.9
	応力度	U.FLG	合成前	σus	N/mm ²	-118.3	-128.7	-131.5	-48.5
			前+後+活	σu	N/mm ²	-127.1	-140.3	-143.0	-57.1
L.Flg 孔引き前		前死	①	σls	N/mm ²	116.6	111.0	115.0	48.5
		後死	②	σlvd	N/mm ²	77.9	79.6	83.1	76.7
		活荷重	③	σlvi	N/mm ²				
		クリープ	④	σlcp	N/mm ²	1.0	0.9	0.9	0.4
		乾燥収縮	⑤	σlsh	N/mm ²	8.7	7.0	7.4	8.9
		温度差	⑥	σlt	N/mm ²	6.3	5.2	5.4	6.5
		前+後+活	①+②+③	σl	N/mm ²	194.5	190.6	198.1	125.2
Web		架設時	τ・Ss/S	ts	N/mm ²	11.2	1.8	3.0	0.8
		最大値		tmax	N/mm ²	28.1	11.2	13.4	10.0
応力勾配 適用判定 (ψ≦-1.2)		σ/σu	φ		-1.53	-1.36	-1.39	-2.19	
					○	○	○	○	
安定性の照査	座屈係数	U.Flg	補剛材間隔	a	mm	6250	6250	6250	6250
			板幅	b	mm	364.5	364.5	364.5	364.5
			アスペクト比 (a/b)	α		17.147	17.147	17.147	17.147
		Web	座屈係数	kf		2.31	2.31	2.31	2.31
	座屈係数		kw		23.9	23.9	23.9	23.9	
	公称降伏点	U.Flg	σyf	N/mm ²	355	355	355	355	
		Web	σyw	N/mm ²	355	355	355	355	
	幅厚比パラメータ	U.Flg	Rf		0.44	0.41	0.43	0.46	
		Web	Rw		1.23	1.27	1.22	1.21	
	少補剛薄板化した腹板の幅厚比		h/tw		164	142	164	164	
	h/twから算出した最小腹板厚		tw0	mm	18	21	18	18	
	組合せ最大応力度		σ1 max	N/mm ²	204.2	197.5	206.4	134.9	
	設計モーメントと終局状態との比 (σ1・max/σyw)		M/My		0.575	0.556	0.581	0.380	
	最大せん断応力度		tmax	N/mm ²	28.1	11.2	13.4	10.0	
	降伏せん断応力度		ty	N/mm ²	205	205	205	205	
	腹板高		hw	mm	2926	2924	2925	2927	
	腹板厚		tw	mm	21	21	21	21	
	全塑性せん断力 (τy・hw・tw)		Qp	KN	12596	12588	12592	12601	
	補剛材間隔		a	mm	6250	6250	6250	6250	
	アスペクト比 (a/h)		α		2.136	2.137	2.137	2.135	
	せん断力に対する座屈係数		Ks		6.217	6.216	6.216	6.218	
	せん断弾性座屈係数		rcrc	N/mm ²	57.89	57.96	57.92	57.86	
	Baslerのせん断強度		Qu	KN	6876	6873	6874	6879	
	腹板の設計せん断力 (tmax・hw・tw)		Q	KN	1727	688	823	615	
	せん断力比		Q/Qu		0.251	0.100	0.120	0.089	
照査式 : (1.7M/My) ^4+ (1.7Q/Qu) ^4				0.946	0.799	0.953	0.175		
判定 (1.7M/My) ^4+ (1.7Q/Qu) ^4≦1.0					○	○	○		
架設時の照査	腹板高	b	mm	2926	2924	2925	2927		
	腹板厚	t	mm	21	21	21	21		
	U.Flg応力度	σus	N/mm ²	118.3	128.7	131.5	48.5		
	L.Flg応力度	σls	N/mm ²	-116.6	-111.0	-115.0	-48.5		
	腹板縁圧縮応力度	σc	N/mm ²	118.3	128.7	131.5	48.5		
	腹板の設計せん断力上下縁の応力比	ψ		-0.986	-0.862	-0.875	-1.000		
	架設時のせん断応力度	ts	N/mm ²	11.2	1.8	3.0	0.8		
	せん断応力度と縁圧縮応力度との比	η		0.095	0.014	0.023	0.016		
	座屈パラメータ	Rb		0.999	0.986	0.987	1.000		
	垂直応力度に対する座屈係数	kσ		23.525	20.477	20.762	23.900		
	せん断応力度に対する座屈係数	kt		6.217	6.216	6.216	6.218		
	所要安全率	vB		1.351	1.411	1.403	1.390		
	照査式 (左辺)	左辺	(×10 ³)	0.0515	0.0516	0.0515	0.0515		
	照査式 (右辺)	右辺	(×10 ³)	0.0401	0.0506	0.0507	0.0156		
	判定 (左辺) ≧ (右辺)					○	○		

<従来設計>

上フランジ材質	SM490Y	SM490Y	SM490Y	SM490Y	SM490Y	SM490Y	SM490Y
上フランジ断面	750x25	750x26	750x26	750x23	750x29	750x23	750x23
	11719	10937	10938	10937	10938	9375	9375
下フランジ材質	SM490Y	SM490Y	SM490Y	SM490Y	SM490Y	SM490Y	SM490Y
下フランジ断面	750x28	750x38	750x38	750x32	800x50	750x36	750x23
ウェブ材質	SM490Y				SM490Y	SM490Y	
ウェブ断面	15				20	15	
対傾構間隔	6250	6250	6250	6250	6250	6250	6250
支間長	50000				50000		

<JH少補剛設計>

上フランジ材質	SM490Y	SM490Y	SM490Y	SM490Y	SM490Y	SM490Y	SM490Y
上フランジ断面	750x24	750x26	750x25	750x23	750x29	750x23	750x23
	11719	10937	10938	10937	10938	9375	9375
下フランジ材質	SM490Y	SM490Y	SM490Y	SM490Y	SM490Y	SM490Y	SM490Y
下フランジ断面	750x24	750x38	750x35	750x32	800x50	750x36	750x23
ウェブ材質	SM490Y			SM490Y	SM490Y	SM490Y	SM490Y
ウェブ断面	21			15	20	15	21
対傾構間隔	6250	6250	6250	6250	6250	6250	6250
支間長	50000				50000		

3.4.2 波形ウェブを使用した場合の断面計算結果

			SECT-1(RIGHT)		SECT-2(M MAX)		SECT-3(LEFT)		SECT-4(LEFT)	
			設計例	検討断面	設計例	検討断面	設計例	検討断面	設計例	検討断面
断面諸元	材質		SM490Y	SM490Y	SM490Y	SM490Y	SM490Y	SM490Y	SM490Y	SM490Y
	上フランジ	員数	1	1	1	1	1	1	1	1
		板幅	750	750	750	750	750	750	750	750
		板厚	25	28	26	30	26	30	23	25
	腹板	員数	1	1	1	1	1	1	1	1
		高さ	2925	2922	2924	2920	2924	2920	2927	2925
		板厚	15	9	15	9	15	9	15	10
	下フランジ	員数	1	1	1	1	1	1	1	1
		板幅	750	750	750	750	750	750	750	750
		板厚	28	40	38	50	38	50	32	35
波形鋼板ウェブの有効高	mm	2925	2922	2924	2920	2924	2920	2927	2925	
部材圧縮縁が部材となす角度	度	0.0	0.0	0.0	0.0	0.0	0.0	0.0	0.0	
ウェブ幅	mm	340	340	340	340	340	340	340	340	
波高	mm	220	220	220	220	220	220	220	220	
鋼板のヤング係数	N/mm ²	200000	200000	200000	200000	200000	200000	200000	200000	
ポアソン比	—	0.3	0.3	0.3	0.3	0.3	0.3	0.3	0.3	
設計荷重用時の検討										
設計せん断力	S	kN	1235	1235	-586	-586	-672	-672	-1703	-1703
プレストレスの鉛直成分	Sp	kN	0	0	0	0	0	0	0	0
波形鋼板ウェブに作用する設計せん断力	Sw	kN	1235	1235	-586	-586	-672	-672	-1703	-1703
波形鋼板ウェブの断面積	Aw	mm ²	43875	26298	43860	26280	43860	26280	43905	29250
波形鋼板ウェブに作用する平均せん断応力度	τ_{ws}	N/mm ²	28.2	47.0	-13.4	-22.3	-15.3	-25.6	-38.8	-58.2
許容値			120.0	120.0	120.0	120.0	120.0	120.0	120.0	120.0
判定			OK	OK	OK	OK	OK	OK	OK	OK
終局荷重用時の検討										
終局荷重用時断面力										
荷重による終局荷重用時曲げモーメント	M	kN・m	32910.6	32910.6	40549.1	40549.1	40319.2	40319.2	25928.7	25928.7
荷重による終局荷重用時せん断力	Su	kN	2100.2	2100.2	-996.9	-996.9	-1142.1	-1142.1	-2895.4	-2895.4
有効高	d	m	2.925	2.922	2.924	2.920	2.924	2.920	2.927	2.925
部材圧縮縁が部材となす角度	β	度	0.0	0.0	0.0	0.0	0.0	0.0	0.0	0.0
部材の有効高の変化の影響を考慮したせん断力	Sh	kN	2100.2	2100.2	-996.9	-996.9	-1142.1	-1142.1	-2895.4	-2895.4
プレストレスの鉛直分力	Sp	kN	0.0	0.0	0.0	0.0	0.0	0.0	0.0	0.0
波形鋼板ウェブに作用する設計せん断力	Sw	kN	2100.2	2100.2	-996.9	-996.9	-1142.1	-1142.1	-2895.4	-2895.4
波形鋼板ウェブの断面積	Aw	mm ²	43875	26298	43860	26280	43860	26280	43905	29250
波形鋼板ウェブに作用する平均せん断応力度	τ_{ws}	N/mm ²	47.9	79.9	22.7	37.9	26.0	43.5	65.9	99.0
許容値			205.0	205.0	205.0	205.0	205.0	205.0	205.0	205.0
判定			OK	OK	OK	OK	OK	OK	OK	OK
座屈に対する検討										
1. 局部座屈強度										
鋼板高さ	h	mm	2925	2922	2924	2920	2924	2920	2927	2925
鋼板厚さ	t	mm	15	9	15	9	15	9	15	10
幅厚比	γ	—	0.00513	0.00308	0.00513	0.00308	0.00513	0.00308	0.00512	0.00342
縦横比	α	—	0.116	0.116	0.116	0.116	0.116	0.116	0.116	0.116
ウェブ幅	a	mm	340	340	340	340	340	340	340	340
座屈係数	k	—	399.2	398.4	398.9	397.9	398.9	397.9	399.8	399.2
座屈強度	$\tau_{cr,L}$	N/mm ²	1897.8	683.2	1897.8	683.2	1897.8	683.2	1897.8	843.5
せん断降伏応力度	τ_y	N/mm ²	205.0	205.0	205.0	205.0	205.0	205.0	205.0	205.0
せん断座屈パラメータ	λ_s	≤ 0.6	0.33	0.55	0.33	0.55	0.33	0.55	0.33	0.49
座屈強度	$\tau_{cr,L}$	N/mm ²	205.0	205.0	205.0	205.0	205.0	205.0	205.0	205.0
2. 全体座屈強度										
鋼板高さ	h	m	2925	2922	2924	2920	2924	2920	2927	2925
鋼板厚さ	t	mm	15	9	15	9	15	9	15	10
波形鋼板ウェブ橋軸方向の断面2次モーメント	I _x	mm ⁴	133585	79914	133585	79914	133585	79914	133585	88828
波高	d	mm	220	220	220	220	220	220	220	220
波高板厚比	δ	—	14.67	24.44	14.67	24.44	14.67	24.44	14.67	22.00
長さ減少率	η	—	0.91	0.91	0.91	0.91	0.91	0.91	0.91	0.91
波形鋼板ウェブ高さ方向の断面2次モーメント	I _y	mm ⁴	309	67	309	67	309	67	309	92
材端の固定度を示す係数	β	—	1.0	1.0	1.0	1.0	1.0	1.0	1.0	1.0
座屈強度	$\tau_{cr,G}$	N/mm ²	1644	1273	1645	1275	1645	1275	1641	1339
せん断降伏	τ_y	N/mm ²	205.0	205.0	205.0	205.0	205.0	205.0	205.0	205.0
せん断座屈パラメータ	λ_s	≤ 0.6	0.35	0.40	0.35	0.40	0.35	0.40	0.35	0.39
座屈強度	$\tau_{cr,G}$	N/mm ²	205.0	205.0	205.0	205.0	205.0	205.0	205.0	205.0
3. 連成座屈に対する照査										
$\tau_{cr} = \tau_{cr,L} \cdot [1 / \{1 + (\tau_{cr,L} / \tau_{cr,G})^4\}]^{1/4}$		N/mm ²	172.4	172.4	172.4	172.4	172.4	172.4	172.4	172.4
終局荷重用時のせん断応力度	τ_{ws}	N/mm ²	47.9	79.9	22.7	37.9	26.0	43.5	65.9	99.0
判定			OK	OK	OK	OK	OK	OK	OK	OK

			SECT-4(RIGHT)		SECT-5(M SUP)		SECT-6(LEFT)		SECT-6(RIGHT)		
			設計例	検討断面	設計例	検討断面	設計例	検討断面	設計例	検討断面	
断面諸元	材質		SM490Y	SM490Y	SM490Y	SM490Y	SM490Y	SM490Y	SM490Y	SM490Y	
	上フランジ	員数	1	1	1	1	1	1	1	1	1
		板幅	750	750	750	750	750	750	750	750	750
		板厚	23	25	29	41	23	23	23	23	23
	腹板	員数	1	1	1	1	1	1	1	1	1
		高さ	2927	2925	2921	2909	2927	2927	2927	2927	2927
		板厚	15	10	20	12	15	9	15	15	9
	下フランジ	員数	1	1	1	1	1	1	1	1	1
		板幅	750	750	800	800	750	750	750	750	750
		板厚	32	35	50	59	36	42	36	36	42
波形鋼板ウェブの有効高	mm	2927	2925	2921	2909	2927	2927	2927	2927		
部材圧縮縁が部材となす角度	度	0.0	0.0	0.0	0.0	0.0	0.0	0.0	0.0		
ウェブ幅	mm	340	340	340	340	340	340	340	340		
波高	mm	220	220	220	220	220	220	220	220		
鋼板のヤング係数	N/mm ²	200000	200000	200000	200000	200000	200000	200000	200000		
ポアソン比	—	0.3	0.3	0.3	0.3	0.3	0.3	0.3	0.3		
設計荷重用時の検討											
設計せん断力	S	kN	-2752	-2752	-3275	-3275	2367	2367	1452	1452	
プレストレスの鉛直成分	Sp	kN	0	0	0	0	0	0	0	0	
波形鋼板ウェブに作用する設計せん断力	Sw	kN	-2752	-2752	-3275	-3275	2367	2367	1452	1452	
波形鋼板ウェブの断面積	Aw	mm ²	43905	29250	58420	34908	43905	26343	43905	26343	
波形鋼板ウェブに作用する平均せん断応力度	τws	N/mm ²	-62.7	-94.1	-56.1	-93.8	53.9	89.9	33.1	55.1	
許容値			120.0	120.0	120.0	120.0	120.0	120.0	120.0	120.0	
判定			OK	OK	OK	OK	OK	OK	OK	OK	
終局荷重用時の検討											
終局荷重時断面力											
荷重による終局荷重時曲げモーメント	M	kN・m	-19848.2	-19848.2	-39384.6	-39384.6	-24148.5	-24148.5	12725.4	12725.4	
荷重による終局荷重時せん断力	Su	kN	-4678.2	-4678.2	-5567.5	-5567.5	4024.4	4024.4	2468.1	2468.1	
有効高	d	m	2.927	2.925	2.921	2.909	2.927	2.927	2.927	2.927	
部材圧縮縁が部材となす角度	β	度	0.0	0.0	0.0	0.0	0.0	0.0	0.0	0.0	
部材の有効高の変化の影響を考慮したせん断力	Sh	kN	-4678.2	-4678.2	-5567.5	-5567.5	4024.4	4024.4	2468.1	2468.1	
プレストレスの鉛直分力	Sp	kN	0.0	0.0	0.0	0.0	0.0	0.0	0.0	0.0	
波形鋼板ウェブに作用する設計せん断力	Sw	kN	-4678.2	-4678.2	-5567.5	-5567.5	4024.4	4024.4	2468.1	2468.1	
波形鋼板ウェブの断面積	Aw	mm ²	43905	29250	58420	34908	43905	26343	43905	26343	
波形鋼板ウェブに作用する平均せん断応力度	τws	N/mm ²	106.6	159.9	95.3	159.5	91.7	152.8	56.2	93.7	
許容値			205.0	205.0	205.0	205.0	205.0	205.0	205.0	205.0	
判定			OK	OK	OK	OK	OK	OK	OK	OK	
座屈に対する検討											
1. 局部座屈強度											
鋼板高さ	h	mm	2927	2925	2921	2909	2927	2927	2927	2927	
鋼板厚さ	t	mm	15	10	20	12	15	9	15	9	
幅厚比	γ	—	0.00512	0.00342	0.00685	0.00413	0.00512	0.00307	0.00512	0.00307	
縦横比	α	—	0.116	0.116	0.116	0.117	0.116	0.116	0.116	0.116	
ウェブ幅	a	mm	340	340	340	340	340	340	340	340	
座屈係数	k	—	399.8	399.2	398.1	394.9	399.8	399.8	399.8	399.8	
座屈強度	τ _{cr,L}	N/mm ²	1897.8	843.5	3373.9	1214.7	1897.8	683.2	1897.8	683.2	
せん断降伏応力度	τ _y	N/mm ²	205.0	205.0	205.0	205.0	205.0	205.0	205.0	205.0	
せん断座屈パラメータ	λ _s	≤0.6	0.33	0.49	0.25	0.41	0.33	0.55	0.33	0.55	
座屈強度	τ _{cr,L}	N/mm ²	205.0	205.0	205.0	205.0	205.0	205.0	205.0	205.0	
2. 全体座屈強度											
鋼板高さ	h	m	2927	2925	2921	2909	2927	2927	2927	2927	
鋼板厚さ	t	mm	15	10	20	12	15	9	15	9	
波形鋼板ウェブ橋軸方向の断面2次モーメント	I _x	mm ⁴	133585	88828	178755	106690	133585	79914	133585	79914	
波高	d	mm	220	220	220	220	220	220	220	220	
波高板厚比	δ	—	14.67	22.00	11.00	18.33	14.67	24.44	14.67	24.44	
長さ減少率	η	—	0.91	0.91	0.91	0.91	0.91	0.91	0.91	0.91	
波形鋼板ウェブ高さ方向の断面2次モーメント	I _y	mm ⁴	309	92	733	158	309	67	309	67	
材端の固定度を示す係数	β	—	1.0	1.0	1.0	1.0	1.0	1.0	1.0	1.0	
座屈強度	τ _{cr,G}	N/mm ²	1641	1339	1908	1485	1641	1269	1641	1269	
せん断降伏	τ _y	N/mm ²	205.0	205.0	205.0	205.0	205.0	205.0	205.0	205.0	
せん断座屈パラメータ	λ _s	≤0.6	0.35	0.39	0.33	0.37	0.35	0.40	0.35	0.40	
座屈強度	τ _{cr,G}	N/mm ²	205.0	205.0	205.0	205.0	205.0	205.0	205.0	205.0	
3. 連成座屈に対する照査											
τ _{cr} =τ _{cr,L} ・[1/{1+(τ _{cr,L} /τ _{cr,G}) ⁴ }] ^{1/4}		N/mm ²	172.4	172.4	172.4	172.4	172.4	172.4	172.4	172.4	
終局荷重時のせん断応力度	τws	N/mm ²	106.6	159.9	95.3	159.5	91.7	152.8	56.2	93.7	
判定			OK	OK	OK	OK	OK	OK	OK	OK	

			SECT-7(RIGHT)		SECT-8(M MAX)		
			設計例	検討断面	設計例	検討断面	
断面諸元	材質		SM490Y	SM490Y	SM490Y	SM490Y	
	上フランジ	員数		1	1	1	1
		板幅		750	750	750	750
		板厚		23	23	23	23
	腹板	員数		1	1	1	1
		高さ		2927	2927	2927	2927
		板厚		15	9	15	9
	下フランジ	員数		1	1	1	1
		板幅		750	750	750	750
		板厚		23	27	23	27
波形鋼板 α の有効高		mm	2927	2927	2927	2927	
部材圧縮縁が部材となす角度		度	0.0	0.0	0.0	0.0	
β の幅		mm	340	340	340	340	
波高		mm	220	220	220	220	
鋼板のヤング係数		N/mm ²	200000	200000	200000	200000	
ポアソン比		—	0.3	0.3	0.3	0.3	
設計荷重用時の検討							
設計せん断力		S	kN	566	566	-493	-493
プレストレスの鉛直成分		Sp	kN	0	0	0	0
波形鋼板 α に作用する設計せん断力		Sw	kN	566	566	-493	-493
波形鋼板 α の断面積		Aw	mm ²	43905	26343	43905	26343
波形鋼板 α に作用する平均せん断応力度		τ_{ws}	N/mm ²	12.9	21.5	-11.2	-18.7
許容値				120.0	120.0	120.0	120.0
判定				OK	OK	OK	OK
終局荷重用時の検討							
終局荷重時断面力							
荷重による終局荷重時曲げモーメント		M	kN・m	21999.9	21999.9	22056.3	22056.3
荷重による終局荷重時せん断力		Su	kN	961.9	961.9	838.1	838.1
有効高		d	m	2.927	2.927	2.927	2.927
部材圧縮縁が部材となす角度		β	度	0.0	0.0	0.0	0.0
部材の有効高の変化の影響を考慮したせん断力		Sh	kN	961.9	961.9	838.1	838.1
プレストレスの鉛直分力		Sp	kN	0.0	0.0	0.0	0.0
波形鋼板 α に作用する設計せん断力		Sw	kN	961.9	961.9	838.1	838.1
波形鋼板 α の断面積		Aw	mm ²	43905	26343	43905	26343
波形鋼板 α に作用する平均せん断応力度		τ_{ws}	N/mm ²	21.9	36.5	19.1	31.8
許容値				205.0	205.0	205.0	205.0
判定				OK	OK	OK	OK
座屈に対する検討							
1. 局部座屈強度							
鋼板高さ		h	mm	2927	2927	2927	2927
鋼板厚さ		t	mm	15	9	15	9
幅厚比		γ	—	0.00512	0.00307	0.00512	0.00307
縦横比		α	—	0.116	0.116	0.116	0.116
β の幅		a	mm	340	340	340	340
座屈係数		k	—	399.8	399.8	399.8	399.8
座屈強度		$\tau_{cr,L}$	N/mm ²	1897.8	683.2	1897.8	683.2
せん断降伏応力度		τ_y	N/mm ²	205.0	205.0	205.0	205.0
せん断座屈パラメータ		λ_s	≤ 0.6	0.33	0.55	0.33	0.55
座屈強度		$\tau_{cr,L}$	N/mm ²	205.0	205.0	205.0	205.0
2. 全体座屈強度							
鋼板高さ		h	m	2927	2927	2927	2927
鋼板厚さ		t	mm	15	9	15	9
波形鋼板 α 橋軸方向の断面2次モーメント		Ix	mm ⁴	133585	79914	133585	79914
波高		d	mm	220	220	220	220
波高板厚比		δ	—	14.67	24.44	14.67	24.44
長さ減少率		η	—	0.91	0.91	0.91	0.91
波形鋼板 α 高さ方向の断面2次モーメント		Iy	mm ⁴	309	67	309	67
材端の固定度を示す係数		β	—	1.0	1.0	1.0	1.0
座屈強度		$\tau_{cr,G}$	N/mm ²	1641	1269	1641	1269
せん断降伏		τ_y	N/mm ²	205.0	205.0	205.0	205.0
せん断座屈パラメータ		λ_s	≤ 0.6	0.35	0.40	0.35	0.40
座屈強度		$\tau_{cr,G}$	N/mm ²	205.0	205.0	205.0	205.0
3. 連成座屈に対する照査							
$\tau_{cr} = \tau_{cr,L} \cdot [1 / \{1 + (\tau_{cr,L} / \tau_{cr,G})^4\}]^{1/4}$			N/mm ²	172.4	172.4	172.4	172.4
終局荷重時のせん断応力度		τ_{ws}	N/mm ²	21.9	36.5	19.1	31.8
判定				OK	OK	OK	OK

備考

SECT-1の検討結果
 上フランジの板厚:25mm ⇒ 28mm(板厚3mm UP)
 腹板の板厚:15mm ⇒ 9mm(板厚6mm DOWN)
 下フランジの板厚:28mm ⇒ 40mm(板厚12mm UP)

SECT-2の検討結果
 上フランジの板厚:26mm ⇒ 30mm(板厚4mm UP)
 腹板の板厚:15mm ⇒ 9mm(板厚6mm DOWN)
 下フランジの板厚:38mm ⇒ 50mm(板厚12mm UP)

SECT-3の検討結果
 上フランジの板厚:26mm ⇒ 30mm(板厚4mm UP)
 腹板の板厚:15mm ⇒ 9mm(板厚6mm DOWN)
 下フランジの板厚:38mm ⇒ 50mm(板厚12mm UP)

SECT-4の検討結果
 上フランジの板厚:23mm ⇒ 25mm(板厚2mm UP)
 腹板の板厚:15mm ⇒ 10mm(板厚5mm DOWN)
 下フランジの板厚:32mm ⇒ 35mm(板厚3mm UP)

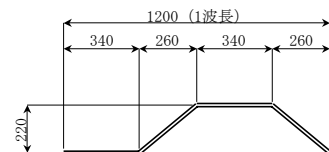
SECT-5の検討結果
 上フランジの板厚:29mm ⇒ 41mm(板厚12mm UP)
 腹板の板厚:20mm ⇒ 12mm(板厚8mm DOWN)
 下フランジの板厚:50mm ⇒ 59mm(板厚9mm UP)

SECT-6の検討結果
 上フランジの板厚:23mm ⇒ 23mm(板厚0mm UP)
 腹板の板厚:15mm ⇒ 9mm(板厚6mm DOWN)
 下フランジの板厚:36mm ⇒ 42mm(板厚6mm UP)

SECT-7の検討結果
 上フランジの板厚:23mm ⇒ 23mm(板厚0mm UP)
 腹板の板厚:15mm ⇒ 9mm(板厚6mm DOWN)
 下フランジの板厚:23mm ⇒ 27mm(板厚4mm UP)

SECT-8の検討結果
 上フランジの板厚:23mm ⇒ 23mm(板厚0mm UP)
 腹板の板厚:15mm ⇒ 9mm(板厚6mm DOWN)
 下フランジの板厚:23mm ⇒ 27mm(板厚4mm UP)

波形鋼板の断面



合成前面検討 (SECT-2-L)

上フランク				ウエブ				下フランク				照査																																																											
上フランク幅 (mm)	上フランク厚 (mm)	降伏応力度 (N/mm ²)	固定 点間距離 (mm)	ウエブ高 (mm)	ウエブ厚 (mm)	降伏応力度 (N/mm ²)	固定 点間距離 (mm)	降伏せん断 応力度 (N/mm ²)	7ペト比 α	正曲げ 負曲げ	応力 分配 ϕ (%)	正曲げ 負曲げ	降伏せん断 応力度 (N/mm ²)	下フランク幅 (mm)	下フランク厚 (mm)	降伏応力度 (N/mm ²)	固定 点間距離 (mm)	\sim M (kN-m)	\sim Q (kN)	Mults (kN-m)	Quit (kN)	判定																																																	
Buf	750	355	6250	2926	10	355	6250	205	2.136	正曲げ 負曲げ	0.794	205	205	750	35	355	6250	9,778.9	491	16,736	2,443	0.454	OK																																																
out.f (N/mm ²)	横壁屈 (採用幅38N/mm ²)	$\sigma_{crf,1}$ λ	2,366	out.w (N/mm ²)	純曲げ $\phi=1$	σ_{crf}	50	50	$(\alpha-1)$	0.8	0.8	0.8	13	out.f (N/mm ²)	横壁屈	35	$\sigma_{crf,1}$ λ	2,366	2,366	2,366	2,366	2,366	2,366	2,366	2,366																																														
																										ねじれ 座屈	採用幅38N/mm ²	ねじれ 座屈	採用幅38N/mm ²	ねじれ 座屈	採用幅38N/mm ²	ねじれ 座屈	採用幅38N/mm ²	ねじれ 座屈	採用幅38N/mm ²	ねじれ 座屈	採用幅38N/mm ²	ねじれ 座屈	採用幅38N/mm ²	ねじれ 座屈	採用幅38N/mm ²	ねじれ 座屈	採用幅38N/mm ²	ねじれ 座屈	採用幅38N/mm ²	ねじれ 座屈	採用幅38N/mm ²	ねじれ 座屈	採用幅38N/mm ²																						
																																																		式	out.1 (0.2< α <7)	式	out.1 (0.2< α <7)	式	out.1 (0.2< α <7)	式	out.1 (0.2< α <7)	式	out.1 (0.2< α <7)	式	out.1 (0.2< α <7)	式	out.1 (0.2< α <7)	式	out.1 (0.2< α <7)	式	out.1 (0.2< α <7)	式	out.1 (0.2< α <7)	式	out.1 (0.2< α <7)

合成前面検討 (SECT-2-C)

上フランク				ウエブ				下フランク				照査																																																											
上フランク幅 (mm)	上フランク厚 (mm)	降伏応力度 (N/mm ²)	固定 点間距離 (mm)	ウエブ高 (mm)	ウエブ厚 (mm)	降伏応力度 (N/mm ²)	固定 点間距離 (mm)	降伏せん断 応力度 (N/mm ²)	7ペト比 α	正曲げ 負曲げ	応力 分配 ϕ (%)	正曲げ 負曲げ	降伏せん断 応力度 (N/mm ²)	下フランク幅 (mm)	下フランク厚 (mm)	降伏応力度 (N/mm ²)	固定 点間距離 (mm)	\sim M (kN-m)	\sim Q (kN)	Mults (kN-m)	Quit (kN)	判定																																																	
Buf	750	355	6250	2926	10	355	6250	205	2.136	正曲げ 負曲げ	0.794	205	205	750	35	355	6250	11,748.9	97	16,736	2,443	0.933	OK																																																
out.f (N/mm ²)	横壁屈 (採用幅38N/mm ²)	$\sigma_{crf,1}$ λ	2,366	out.w (N/mm ²)	純曲げ $\phi=1$	σ_{crf}	50	50	$(\alpha-1)$	0.8	0.8	0.8	13	out.f (N/mm ²)	横壁屈	35	$\sigma_{crf,1}$ λ	2,366	2,366	2,366	2,366	2,366	2,366	2,366	2,366																																														
																										ねじれ 座屈	採用幅38N/mm ²	ねじれ 座屈	採用幅38N/mm ²	ねじれ 座屈	採用幅38N/mm ²	ねじれ 座屈	採用幅38N/mm ²	ねじれ 座屈	採用幅38N/mm ²	ねじれ 座屈	採用幅38N/mm ²	ねじれ 座屈	採用幅38N/mm ²	ねじれ 座屈	採用幅38N/mm ²	ねじれ 座屈	採用幅38N/mm ²	ねじれ 座屈	採用幅38N/mm ²	ねじれ 座屈	採用幅38N/mm ²	ねじれ 座屈	採用幅38N/mm ²																						
																																																		式	out.1 (0.2< α <7)	式	out.1 (0.2< α <7)	式	out.1 (0.2< α <7)	式	out.1 (0.2< α <7)	式	out.1 (0.2< α <7)	式	out.1 (0.2< α <7)	式	out.1 (0.2< α <7)	式	out.1 (0.2< α <7)	式	out.1 (0.2< α <7)	式	out.1 (0.2< α <7)	式	out.1 (0.2< α <7)

合成前面検討 (SECT-3-L)

上フランジ		ウエブ		ウエブ厚		降伏応力度		固定点間距離		降伏応力度		下フランジ		照査						
上フランジ幅 (mm)	上フランジ厚 (mm)	ウエブ高 (mm)	ウエブ厚 (mm)	降伏応力度 (N/mm ²)	降伏応力度 (N/mm ²)	固定点間距離 (mm)	固定点間距離 (mm)	降伏応力度 (N/mm ²)	降伏応力度 (N/mm ²)	下フランジ幅 (mm)	下フランジ厚 (mm)	降伏応力度 (N/mm ²)	固定点間距離 (mm)	Multis (kN·m)	Q (kN)	Multis (kN·m)	Q (kN)	判定		
Buf	750	2926	12	355	355	6250	6250	2.136	2.136	750	33	355	6250	11.6342	-151	17.673	3.065	0.721	OK	
out.f (N/mm ²)	24	out.w (N/mm ²)	12	out.f (N/mm ²)	out.w (N/mm ²)	73	73	α (α<1)	α (α<1)	out.f (N/mm ²)	tlf (mm)	ocf ¹ (N/mm ²)	Llf (mm)	~ M (kN·m)	~ Q (kN)	Multis (kN·m)	Quit (kN)	判定		
	24	純曲げ φ=1	純曲げ φ=1	ocf ¹ (N/mm ²)	ocf ¹ (N/mm ²)	73	73	(α<1)	(α<1)	19	33	ocf ¹ (N/mm ²)	1-24663(mm)	6.4689	-793	17.673	3.065	0.086	OK	
		(採用軸2018mm ²)	(採用軸2018mm ²)	λ	λ	2.205	2.205	ocf ² (N/mm ²)	ocf ² (N/mm ²)	16	33	λ	2.366							
		曲げ引張り -7<φ<-1	曲げ引張り -7<φ<-1	out.b (N/mm ²)	out.b (N/mm ²)	355	355	ocf ² (N/mm ²)	ocf ² (N/mm ²)	19	33	ocf ² (N/mm ²)	2.366							
		純圧縮 φ=1	純圧縮 φ=1	λ	λ	2.412	2.412	λ	λ	16	33	λ	2.366							
		(採用軸618mm ²)	(採用軸618mm ²)	out.c (N/mm ²)	out.c (N/mm ²)	188	188	λ	λ	19	33	λ	2.366							
		曲げ引張り -1<φ<-1	曲げ引張り -1<φ<-1	out.c (N/mm ²)	out.c (N/mm ²)	169	169	λ	λ	56	33	λ	2.366							
				Op (kN)	Op (kN)	169	169	Op (kN)	Op (kN)	19	33	Op (kN)	2.366							
				Quit (kN)	Quit (kN)	169	169	Quit (kN)	Quit (kN)	19	33	Quit (kN)	2.366							

合成前面検討 (SECT-3-R)

上フランジ		ウエブ		ウエブ厚		降伏応力度		固定点間距離		降伏応力度		下フランジ		照査						
上フランジ幅 (mm)	上フランジ厚 (mm)	ウエブ高 (mm)	ウエブ厚 (mm)	降伏応力度 (N/mm ²)	降伏応力度 (N/mm ²)	固定点間距離 (mm)	固定点間距離 (mm)	降伏応力度 (N/mm ²)	降伏応力度 (N/mm ²)	下フランジ幅 (mm)	下フランジ厚 (mm)	降伏応力度 (N/mm ²)	固定点間距離 (mm)	Multis (kN·m)	Q (kN)	Multis (kN·m)	Q (kN)	判定		
Buf	750	2926	12	355	355	6250	6250	2.136	2.136	750	33	355	6250	6.4689	-793	17.673	3.065	0.086	OK	
out.f (N/mm ²)	24	out.w (N/mm ²)	12	out.f (N/mm ²)	out.w (N/mm ²)	73	73	α (α<1)	α (α<1)	out.f (N/mm ²)	tlf (mm)	ocf ¹ (N/mm ²)	Llf (mm)	~ M (kN·m)	~ Q (kN)	Multis (kN·m)	Quit (kN)	判定		
	24	純曲げ φ=1	純曲げ φ=1	ocf ¹ (N/mm ²)	ocf ¹ (N/mm ²)	73	73	(α<1)	(α<1)	19	33	ocf ¹ (N/mm ²)	1-24663(mm)	6.4689	-793	17.673	3.065	0.086	OK	
		(採用軸2018mm ²)	(採用軸2018mm ²)	λ	λ	2.205	2.205	ocf ² (N/mm ²)	ocf ² (N/mm ²)	16	33	λ	2.366							
		曲げ引張り -7<φ<-1	曲げ引張り -7<φ<-1	out.b (N/mm ²)	out.b (N/mm ²)	355	355	ocf ² (N/mm ²)	ocf ² (N/mm ²)	19	33	ocf ² (N/mm ²)	2.366							
		純圧縮 φ=1	純圧縮 φ=1	λ	λ	2.412	2.412	λ	λ	16	33	λ	2.366							
		(採用軸618mm ²)	(採用軸618mm ²)	out.c (N/mm ²)	out.c (N/mm ²)	188	188	λ	λ	19	33	λ	2.366							
		曲げ引張り -1<φ<-1	曲げ引張り -1<φ<-1	out.c (N/mm ²)	out.c (N/mm ²)	169	169	λ	λ	56	33	λ	2.366							
				Op (kN)	Op (kN)	169	169	Op (kN)	Op (kN)	19	33	Op (kN)	2.366							
				Quit (kN)	Quit (kN)	169	169	Quit (kN)	Quit (kN)	19	33	Quit (kN)	2.366							

上フワジ				カエツ				下フワジ				照査							
上フワジ幅 (mm)	上フワジ厚 (mm)	ウェブ高 (mm)	ウェブ厚 (mm)	降伏応力度 (N/mm2)	固定 点間距離 (mm)	応力 分配 φ (-ve/%)	正曲げ 負曲げ	7/8のト比 α	降伏せん断 応力度 (N/mm2)	下フワジ幅 (mm)	下フワジ厚 (mm)	降伏応力度 (N/mm2)	固定 点間距離 (mm)	~ M (kN-m)	~ Q (kN)	Multis (kN-m)	照査式 判定		
750	24	2926	12	eyw	6250	-0.902	正曲げ 負曲げ	0.534	ty	750	29	355	6250	6.468.9	-793	17,681	6.071	0.07	OK
Buf	tuf	hw	tw	eyw	Lw					Buf	tif	oylf	Lif						
out.f (N/mm2)	純曲げ φ=1 純圧縮 φ=1	out.w (N/mm2)	純曲げ φ=1 純圧縮 φ=1	σcf ⁺ λ σcf ⁻ λ σcf ⁺ λ σcf ⁻ λ	73 2,205 355 201 66 2,319 194 12 5,439 355 61 181	rcr ⁺ 0.8・ty rcr 採用値 ΣΔx/(mm2) ΣΔx・Y/(mm3) Σst/mm ΣJ/(mm4) Σt/(mm) Yu (mm) Y1 (mm) Op (kN)	(α-1) (α<1) rcr<0.8ty rcr>0.8ty 採用値 74.862 5,585.625 75 25,053,267.089 421,098,750 111,273,804,276 1,562 1,417 25,290		σcf,1 λ σcf,2 λ σcf,1 λ σcf,2 λ	oylf,1 (N/mm2) σcf,1 λ σcf,2 (0.2α<τ2) λ σcf,1 λ σcf,2 λ	29 横壁屈 (採用値) ねじれ 屈 (採用値) MN(enll1 OR enll2) out.f<out.w out.f>out.w 採用値	355 oylf σcf,1 λ enll,1 (0.2α<τ2) σcf,2 λ	6250 Lif I=1524133mm2 2,366 0.387 355 328 459 0.879 20,784 307	6.468.9	-793	17,681	6.071	0.07	OK
Multis (KN-m)	正曲げの 場合採用									Multis (KN-m)	out.f<out.w out.f>out.w 採用値								

上フワジ				カエツ				下フワジ				照査							
上フワジ幅 (mm)	上フワジ厚 (mm)	ウェブ高 (mm)	ウェブ厚 (mm)	降伏応力度 (N/mm2)	固定 点間距離 (mm)	応力 分配 φ (-ve/%)	正曲げ 負曲げ	7/8のト比 α	降伏せん断 応力度 (N/mm2)	下フワジ幅 (mm)	下フワジ厚 (mm)	降伏応力度 (N/mm2)	固定 点間距離 (mm)	~ M (kN-m)	~ Q (kN)	Multis (kN-m)	照査式 判定		
750	24	2926	12	eyw	6250	-1.108	正曲げ 負曲げ	0.534	ty	750	29	355	6250	-5,716.5	-###	20,509	6.071	0.035	OK
Buf	tuf	hw	tw	eyw	Lw					Buf	tif	oylf	Lif						
out.f (N/mm2)	純曲げ φ=1 純圧縮 φ=1	out.w (N/mm2)	純曲げ φ=1 純圧縮 φ=1	σcf ⁺ λ σcf ⁻ λ σcf ⁺ λ σcf ⁻ λ	73 2,205 355 201 81 2,093 209 12 5,439 355 61 229	rcr ⁺ 0.8・ty rcr 採用値 ΣΔx/(mm2) ΣΔx・Y/(mm3) Σst/mm ΣJ/(mm4) Σt/(mm) Yu (mm) Y1 (mm) Op (kN)	(α-1) (α<1) rcr<0.8ty rcr>0.8ty 採用値 74.862 5,585.625 75 25,053,267.089 421,098,750 111,273,804,276 1,562 1,417 25,290		σcf,1 λ σcf,2 λ σcf,1 λ σcf,2 λ	oylf,1 (N/mm2) σcf,1 λ enll,1 (0.2α<τ2) σcf,2 λ	29 横壁屈 (採用値) ねじれ 屈 (採用値) MN(enll1 OR enll2) out.f<out.w out.f>out.w 採用値	355 oylf σcf,1 λ enll,1 (0.2α<τ2) σcf,2 λ	6250 Lif I=1524133mm2 2,366 0.387 355 328 459 0.879 20,784 307	-5,716.5	-###	20,509	6.071	0.035	OK
Multis (KN-m)	正曲げの 場合採用									Multis (KN-m)	out.f<out.w out.f>out.w 採用値								

合成前断面検討 (SECT-5-C)

上フランジ厚		上フランジ幅		ウエブ高		ウエブ厚		降伏応力度		固定点間距離		モーメント		せん断力		ねじれ		照査													
Buf (mm)	tuf (mm)	24	750	hw (mm)	2926	tw (mm)	13	eyw (N/mm ²)	355	Lw (mm)	6250	φ (°)	α	ty (N/mm ²)	205	Bf (mm)	800	tf (mm)	45	σyf (N/mm ²)	355	固定点間距離 (mm)	Lf (mm)	6250	~ M (kN·m)	~ Q (kN)	Muts (kN·m)	Quit (kN)	照査式	判定	
A=1800mm ² AX=2655000mm ²		A=1800mm ² AX=2655000mm ²		A=38038mm ²		A=38038mm ²		I=2713845200mm ⁴		I=66400mm ⁴		I=66400mm ⁴		I=66400mm ⁴		I=66400mm ⁴		I=66400mm ⁴		I=66400mm ⁴		I=66400mm ⁴		I=66400mm ⁴		I=66400mm ⁴		I=66400mm ⁴		I=66400mm ⁴	
out.f (N/mm ²)		out.f (N/mm ²)		out.w (N/mm ²)		out.w (N/mm ²)		out.f (N/mm ²)		out.f (N/mm ²)		out.f (N/mm ²)		out.f (N/mm ²)		out.f (N/mm ²)		out.f (N/mm ²)		out.f (N/mm ²)		out.f (N/mm ²)		out.f (N/mm ²)		out.f (N/mm ²)		out.f (N/mm ²)		out.f (N/mm ²)	
λ		λ		λ		λ		λ		λ		λ		λ		λ		λ		λ		λ		λ		λ		λ		λ	
out.1 (0.2<λ<7.2)		out.1 (0.2<λ<7.2)		out.1 (0.2<λ<7.2)		out.1 (0.2<λ<7.2)		out.1 (0.2<λ<7.2)		out.1 (0.2<λ<7.2)		out.1 (0.2<λ<7.2)		out.1 (0.2<λ<7.2)		out.1 (0.2<λ<7.2)		out.1 (0.2<λ<7.2)		out.1 (0.2<λ<7.2)		out.1 (0.2<λ<7.2)		out.1 (0.2<λ<7.2)		out.1 (0.2<λ<7.2)		out.1 (0.2<λ<7.2)		out.1 (0.2<λ<7.2)	
out.2 (0.7<λ)		out.2 (0.7<λ)		out.2 (0.7<λ)		out.2 (0.7<λ)		out.2 (0.7<λ)		out.2 (0.7<λ)		out.2 (0.7<λ)		out.2 (0.7<λ)		out.2 (0.7<λ)		out.2 (0.7<λ)		out.2 (0.7<λ)		out.2 (0.7<λ)		out.2 (0.7<λ)		out.2 (0.7<λ)		out.2 (0.7<λ)		out.2 (0.7<λ)	
MIN(out.1 OR out.2)		MIN(out.1 OR out.2)		MIN(out.1 OR out.2)		MIN(out.1 OR out.2)		MIN(out.1 OR out.2)		MIN(out.1 OR out.2)		MIN(out.1 OR out.2)		MIN(out.1 OR out.2)		MIN(out.1 OR out.2)		MIN(out.1 OR out.2)		MIN(out.1 OR out.2)		MIN(out.1 OR out.2)		MIN(out.1 OR out.2)		MIN(out.1 OR out.2)		MIN(out.1 OR out.2)		MIN(out.1 OR out.2)	
out.f<out.w		out.f<out.w		out.f<out.w		out.f<out.w		out.f<out.w		out.f<out.w		out.f<out.w		out.f<out.w		out.f<out.w		out.f<out.w		out.f<out.w		out.f<out.w		out.f<out.w		out.f<out.w		out.f<out.w		out.f<out.w	
out.f>out.w		out.f>out.w		out.f>out.w		out.f>out.w		out.f>out.w		out.f>out.w		out.f>out.w		out.f>out.w		out.f>out.w		out.f>out.w		out.f>out.w		out.f>out.w		out.f>out.w		out.f>out.w		out.f>out.w		out.f>out.w	
採用値		採用値		採用値		採用値		採用値		採用値		採用値		採用値		採用値		採用値		採用値		採用値		採用値		採用値		採用値		採用値	
Muts (kN·m)		Muts (kN·m)		Op (kN)		Op (kN)		Quit (kN)		Quit (kN)		Quit (kN)		Quit (kN)		Quit (kN)		Quit (kN)		Quit (kN)		Quit (kN)		Quit (kN)		Quit (kN)		Quit (kN)		Quit (kN)	
21,064		19,944		19,944		19,944		25,072		25,072		25,072		25,072		25,072		25,072		25,072		25,072		25,072		25,072		25,072		25,072	
19,944		19,944		19,944		19,944		19,944		19,944		19,944		19,944		19,944		19,944		19,944		19,944		19,944		19,944		19,944		19,944	
採用値		採用値		採用値		採用値		採用値		採用値		採用値		採用値		採用値		採用値		採用値		採用値		採用値		採用値		採用値		採用値	

合成前断面検討 (SECT-6-L)

上フランジ				ウェブ				下フランジ				照査				
上フランジ幅 (mm)	上フランジ厚 (mm)	固定 点間距離 (mm)	固定 点間距離 (mm)	ウエブ高 (mm)	ウエブ厚 (mm)	降伏応力度 (N/mm ²)	降伏応力度 (N/mm ²)	降伏せん断 応力度 (N/mm ²)	降伏せん断 応力度 (N/mm ²)	下フランジ幅 (mm)	下フランジ厚 (mm)	降伏応力度 (N/mm ²)	降伏応力度 (N/mm ²)	固定 点間距離 (mm)	固定 点間距離 (mm)	照査
Buf	750	6250	6250	2926	12	355	355	205	205	750	32	355	355	6250	6250	OK
out.f (N/mm ²)	tuf	Luf	Lw	hw	tw	eyw	eyw	ty	ty	Bf	tlf	oylf	oylf	Llf	Llf	
	横壁屈	純曲げ	純曲げ	純曲げ	純曲げ	純曲げ	純曲げ	純曲げ	純曲げ	横壁屈	ねじれ 座屈	ねじれ 座屈	ねじれ 座屈	ねじれ 座屈	ねじれ 座屈	
Multis (KN-m)	out.f<out.w out.f>out.w	19,628 17,931	19,628 17,931	19,628 17,931	19,628 17,931	19,628 17,931	19,628 17,931	19,628 17,931	19,628 17,931	Multis (KN-m)	out.f<out.w out.f>out.w	23,597 22,201	23,597 22,201	23,597 22,201	23,597 22,201	
正曲げの 場合採用	採用値	採用値	採用値	採用値	採用値	採用値	採用値	採用値	採用値	採用値	採用値	採用値	採用値	採用値	採用値	

合成前断面検討 (SECT-6-R)

上フランジ				ウェブ				下フランジ				照査				
上フランジ幅 (mm)	上フランジ厚 (mm)	固定 点間距離 (mm)	固定 点間距離 (mm)	ウエブ高 (mm)	ウエブ厚 (mm)	降伏応力度 (N/mm ²)	降伏応力度 (N/mm ²)	降伏せん断 応力度 (N/mm ²)	降伏せん断 応力度 (N/mm ²)	下フランジ幅 (mm)	下フランジ厚 (mm)	降伏応力度 (N/mm ²)	降伏応力度 (N/mm ²)	固定 点間距離 (mm)	固定 点間距離 (mm)	照査
Buf	750	6250	6250	2926	12	355	355	205	205	750	32	355	355	6250	6250	OK
out.f (N/mm ²)	tuf	Luf	Lw	hw	tw	eyw	eyw	ty	ty	Bf	tlf	oylf	oylf	Llf	Llf	
	横壁屈	純曲げ	純曲げ	純曲げ	純曲げ	純曲げ	純曲げ	純曲げ	純曲げ	横壁屈	ねじれ 座屈	ねじれ 座屈	ねじれ 座屈	ねじれ 座屈	ねじれ 座屈	
Multis (KN-m)	out.f<out.w out.f>out.w	19,628 17,679	19,628 17,679	19,628 17,679	19,628 17,679	19,628 17,679	19,628 17,679	19,628 17,679	19,628 17,679	Multis (KN-m)	out.f<out.w out.f>out.w	23,597 22,921	23,597 22,921	23,597 22,921	23,597 22,921	
正曲げの 場合採用	採用値	採用値	採用値	採用値	採用値	採用値	採用値	採用値	採用値	採用値	採用値	採用値	採用値	採用値	採用値	

合成前面検討 (SECT-7-1)

上フランジ		ウエブ		ウエブ厚		降伏応力度		固定 点間距離		降伏応力度		下フランジ		照査			
上フランジ幅 (mm)	上フランジ厚 (mm)	ウエブ高 (mm)	ウエブ厚 (mm)	降伏応力度 (N/mm ²)	固定 点間距離 (mm)	降伏応力度 (N/mm ²)	固定 点間距離 (mm)	降伏せん断 応力度 (N/mm ²)	正曲げ 負曲げ	応力 分配 φ (-e/e _s)	7σ _e /t ₀ 比 α	降伏せん断 応力度 (N/mm ²)	下フランジ幅 (mm)	下フランジ厚 (mm)	降伏せん断 応力度 (N/mm ²)	固定 点間距離 (mm)	照査
Buf	750	2926	11	eyw	6250	eyw	6250	ty	2.136	-1.000	2.136	ty	750	24	ty	6250	OK
out.f	24	out.w	φ=1	σ _e ^f	61	σ _e ^f	61	σ _e ^f	(σ>1)	tc ^r	68.186	σ _e ^f	24	tlf	σ _e ^f	6250	OK
				λ	2.412	λ	2.412	λ	(σ<1)	0.8・ty	0	λ			λ	18527	
				out.b	355	out.b	355	out.b	tc ^r <0.8ty	tc ^r	101.287	out.b			out.1	355	
				式	188	式	188	式	tc ^r >0.8ty	tc ^r	1.487	式			out.2	355	
				σ _e ^f	61	σ _e ^f	61	σ _e ^f	採用値	採用値	24.181	σ _e ^f			σ _e ^f	314	
				λ	2.412	λ	2.412	λ				λ			λ	1.063	
				out.1	355	out.1	355	out.1	22.965	22.965	0.33545	out.1			out.2	355	
				式	188	式	188	式			1.487	式			式	272	
				σ _e ^f	10	σ _e ^f	10	σ _e ^f			24.181	σ _e ^f			σ _e ^f	272	
				λ	5.958	λ	5.958	λ			1.487	λ			λ	18527	
				out.1	355	out.1	355	out.1			1.487	out.1			out.2	17214	
				式	56	式	56	式			1.487	式			式	272	
				out.1	188	out.1	188	out.1			24.181	out.1			out.2	17214	
				σ _e ^f	188	σ _e ^f	188	σ _e ^f			6.598	σ _e ^f			σ _e ^f	272	
				λ	188	λ	188	λ			2.749	λ			λ	18527	
				Op	188	Op	188	Op			6.598	Op			Op	272	
				Quit	188	Quit	188	Quit			2.749	Quit			Quit	272	

合成前面検討 (SECT-7-C)

上フランジ		ウエブ		ウエブ厚		降伏応力度		固定 点間距離		降伏応力度		下フランジ		照査			
上フランジ幅 (mm)	上フランジ厚 (mm)	ウエブ高 (mm)	ウエブ厚 (mm)	降伏応力度 (N/mm ²)	固定 点間距離 (mm)	降伏応力度 (N/mm ²)	固定 点間距離 (mm)	降伏せん断 応力度 (N/mm ²)	正曲げ 負曲げ	応力 分配 φ (-e/e _s)	7σ _e /t ₀ 比 α	降伏せん断 応力度 (N/mm ²)	下フランジ幅 (mm)	下フランジ厚 (mm)	降伏せん断 応力度 (N/mm ²)	固定 点間距離 (mm)	照査
Buf	750	2926	11	eyw	6250	eyw	6250	ty	2.136	-1.000	2.136	ty	750	24	ty	6250	OK
out.f	24	out.w	φ=1	σ _e ^f	61	σ _e ^f	61	σ _e ^f	(σ>1)	tc ^r	68.186	σ _e ^f	24	tlf	σ _e ^f	6250	OK
				λ	2.412	λ	2.412	λ	(σ<1)	0.8・ty	0	λ			λ	18527	
				out.b	355	out.b	355	out.b	tc ^r <0.8ty	tc ^r	101.287	out.b			out.1	355	
				式	188	式	188	式	tc ^r >0.8ty	tc ^r	1.487	式			out.2	355	
				σ _e ^f	61	σ _e ^f	61	σ _e ^f	採用値	採用値	24.181	σ _e ^f			σ _e ^f	314	
				λ	2.412	λ	2.412	λ				λ			λ	1.063	
				out.1	355	out.1	355	out.1	22.965	22.965	0.33545	out.1			out.2	355	
				式	188	式	188	式			1.487	式			式	272	
				σ _e ^f	10	σ _e ^f	10	σ _e ^f			24.181	σ _e ^f			σ _e ^f	272	
				λ	5.958	λ	5.958	λ			1.487	λ			λ	18527	
				out.1	355	out.1	355	out.1			1.487	out.1			out.2	17214	
				式	56	式	56	式			1.487	式			式	272	
				out.1	188	out.1	188	out.1			24.181	out.1			out.2	17214	
				σ _e ^f	188	σ _e ^f	188	σ _e ^f			6.598	σ _e ^f			σ _e ^f	272	
				λ	188	λ	188	λ			2.749	λ			λ	18527	
				Op	188	Op	188	Op			6.598	Op			Op	272	
				Quit	188	Quit	188	Quit			2.749	Quit			Quit	272	

3.4.3.2 完成時の照査

決定断面一覧

	上フランジ		ウェブ		下フランジ		パネル数	断面積 mm ²	単位重量 t/m
	幅mm	板厚mm	幅mm	板厚mm	幅mm	板厚mm			
SECT-1	750	24	2926	9	750	27	4	64584	0.507
SECT-2	750	24	2926	10	750	35	1	73510	0.577
SECT-3	750	24	2926	12	750	33	1	77862	0.611
SECT-4	750	24	2926	12	750	29	4	74862	0.588
SECT-5	750	24	2926	18	800	45	4	106668	0.837
SECT-6	750	24	2926	12	750	32	4	77112	0.605
SECT-7	750	24	2926	11	750	24	1	68186	0.535

照査結果一覧

	終局限界	使用限界	決定M
SECT-1	0.997	0.867	正
SECT-2	0.960	0.864	正
SECT-3	0.925	0.858	正
SECT-4	0.936	0.539	負
SECT-5	0.975	0.622	負
SECT-6	0.972	0.565	負
SECT-7	0.662	0.506	正

次頁以降に、代表的なSECT-2（正曲げ）、SECT-5（負曲げ）の断面計算例を示す。

完成時の照査 (SECT-2)

完成時においては下式を満足することを確認する。

- ・終局限界状態の照査

$$\left(\frac{1.7M}{M_{ult}} \right)^4 + \left(\frac{1.7Q}{Q_{ult}} \right)^4 < 1.0$$

ここに、

- M : 完成時における曲げモーメント
- Q : 完成時におけるせん断力
- M_{ult} : AASHTO LRFD により算出した終局曲げモーメント
- Q_{ult} : Basler式により算出した終局せん断力

- ・使用限界状態の照査

$$M_{D1} + M_{D2} + M_L < M_y / 1.15$$

ここに、

- M_{D1} : 合成前死荷重による曲げモーメント
- M_{D2} : 合成後死荷重による曲げモーメント
- M_L : 活荷重による曲げモーメント
- M_y : 降伏モーメント

1. 設計条件

- ・支間長

$$50.000 \text{ m} + 50.000 \text{ m} + 50.000 \text{ m}$$

- ・桁配置

張り出し長	2.450 m
床版支間	5.500 m

- ・床版

床版厚	300 mm	
ハンチ高	80 mm	
設計基準強度	40 N/mm ²	
中間支点付近		
材質	SD345	
降伏応力	345 N/mm ²	
橋軸方向鉄筋 (上段)	D16 @ 200	d' = 67.5 mm
橋軸方向鉄筋 (下段)	D16 @ 200	d = 232.5 mm

- ・主桁

材質	SM490Y	
降伏応力	355 N/mm ²	
上フランジ	750 mm x 24 mm	パネル数 1
ウェブ	2926 mm x 10 mm	α = 2.136
下フランジ	750 mm x 35 mm	
断面積	735.1 cm ²	

- ・横桁

横桁間隔	6250 mm
------	---------

- ・荷重係数 (降伏モーメント算出時)

合成前・後死荷重に対して	1.30
合成後活荷重および衝撃に対して	2.00

・断面力

正曲げ

	曲げモーメント (kN・m)	せん断力 (kN・m)	照査結果 (終局)			照査結果 (使用)	
合成前死荷重	11748.9	-	M_{ult}	41277	0.982	M_{total}	23852
合成後死荷重	1420.0	-	Q_{ult}	2445	0.411	$M_y/1.15$	27610
活荷重	10683.5	-	判定	0.960		判定	0.8639
合計	23852.4	590.7	OK			OK	

2. 床版有効幅

床版の有効幅は道路橋示方書Ⅱ10.3.5により算出する.

支間中央

・張出側

$$l = 0.800 \times 50.000 = 40.000 \text{ m}$$

$$b = 2.450 - 0.750 / 2 - 0.080 = 1.995 \text{ m}$$

$$b/l = 1.995 / 40.000 = 0.050$$

$$\lambda = 1.995 \text{ m}$$

$$= \{ 1.1 - 2 \times (1.995 / 40.000) \} \times 1.995 = \text{***} \text{ m} \quad \begin{array}{l} (b/l \leq 0.05) \\ (0.05 < b/l < 0.30) \\ (0.30 \leq b/l) \end{array}$$

$$= 0.15 \times 40.000 = \text{***} \text{ m} \quad (0.30 \leq b/l)$$

・支間側

$$l = 0.800 \times 50.000 = 40.000 \text{ m}$$

$$b = 5.500 / 2 - 0.750 / 2 - 0.080 = 2.295 \text{ m}$$

$$b/l = 2.295 / 40.000 = 0.057$$

$$\lambda = \text{***} \text{ m}$$

$$= \{ 1.1 - 2 \times (2.295 / 40.000) \} \times 2.295 = 2.2611 \text{ m} \quad \begin{array}{l} (b/l \leq 0.05) \\ (0.05 < b/l < 0.30) \\ (0.30 \leq b/l) \end{array}$$

$$= 0.15 \times 40.000 = \text{***} \text{ m} \quad (0.30 \leq b/l)$$

$$\therefore \text{床版の有効幅 } b_e = 1.995 + 2.2611 + 0.750 + 2 \times 0.080 = 5.1661 \text{ m}$$

3. 断面諸元

正曲げに対して

(1) 合成前断面

			A(cm ²)	y(cm)	Ay(cm ³)	Ay ² (cm ⁴)	I(cm ⁴)
U.FLG	750	x 24	180.00	-147.5	-26550	3916125	86
WEB	2926	x 10	292.60	0	0	0	2087573
L.FLG	750	x 35	262.50	148.05	38863	5753685.7	268
			735.10		12313	9669811	2087928

$$\begin{aligned} \text{偏心量 } \delta &= 12313 / 735 = 16.750 \text{ cm} \\ \text{断面二次モーメント } I &= 11757738 - 735 \times 16.750^2 = 11551490 \text{ cm}^4 \\ \text{断面係数 (主桁上縁) } W_{\text{top of steel 1}} &= 11551490 / 165.450 = 69819 \text{ cm}^3 \\ \text{断面係数 (主桁下縁) } W_{\text{bottom of steel 1}} &= 11551490 / 133.050 = 86821 \text{ cm}^3 \end{aligned}$$

(2) 合成後断面 (n = 7)

			A(cm ²)	y(cm)	Ay(cm ³)	Ay ² (cm ⁴)	I(cm ⁴)
SLAB	5166.1	x 300	2214.06	-171.7	-380155	65272570	166055
U.FLG	750	x 24	180.00	-147.5	-26550	3916125	86
WEB	2926	x 10	292.60	0	0	0	2087573
L.FLG	750	x 35	262.50	148.05	38863	5753685.7	268
			2949.16		-367842	74942381	2253982

$$\begin{aligned} \text{偏心量 } \delta &= -367842 / 2949.16 = -124.727 \text{ cm} \\ \text{断面二次モーメント } I &= 77196363 - 2949.16 \times (-124.727)^2 = 31316422 \text{ cm}^4 \\ \text{断面係数 (床版上縁) } W_{\text{bp}} &= 31316422 / 61.973 = 505327 \text{ cm}^3 \\ \text{断面係数 (主桁上縁) } W_{\text{top of steel 2}} &= 31316422 / 23.973 = 1306344 \text{ cm}^3 \\ \text{断面係数 (主桁下縁) } W_{\text{bottom of steel 2}} &= 31316422 / 274.527 = 114074 \text{ cm}^3 \end{aligned}$$

(3) 塑性断面

			A(cm ²)	Fc,Fy(N/mm ²)	f(kN)	Σf(kN)
SLAB	5166.1	x 300	15498.45	40	52695	52695
U.FLG	750	x 24	180.00	355	6390	26096
WEB	2926	x 10	292.60	355	10387	
L.FLG	750	x 35	262.50	355	9319	

塑性中立軸

断面内軸力0の条件より塑性中立軸は床版断面内となる。

$$\begin{aligned} D_p &= 300 - (52695 - 26096) \times 10^3 / (5166 \times 0.85 \times 40) \\ &= 148.6 \text{ mm} \quad (\text{床版上面からの距離}) \end{aligned}$$

(4) 降伏モーメント

$$\begin{aligned} M_y &= \left(\sigma_y - 1.30 \times M_{d1} / W_{\text{bottom of steel 1}} - 1.30 \times M_{d2} / W_{\text{bottom of steel 2}} \right) \\ &\quad \times W_{\text{bottom of steel 2}} + M_{d1} + M_{d2} \\ &= \left(355 - 1.30 \times 11748900000 / 86820847 \right. \\ &\quad \left. - 1.30 \times 1420000000 / 114073927 \right) \times 114073927 \\ &\quad + 11748900000 + 1420000000 = 31751197574 \text{ N}\cdot\text{mm} = 31751 \text{ kN}\cdot\text{m} \end{aligned}$$

4. 正曲げ断面の照査

(1) M_{ult} の算出

FOUR LRFD DESIGN EXAMPLES OF STEEL HIGHWAY BRIDGES (AISI) に収録されている
Example 3 : THREE-SPAN CONTINUOUS COMPOSITE I GIRDER に倣い M_{ult} を算出する.

1) Check Ductility Requirement

$$D_p \leq \frac{d + t_s + t_h}{7.5} = \frac{2985 + 300 + 80}{7.5} = 448.7 \text{ mm} \\ \geq D_p = 148.57 \text{ mm} \quad \text{OK}$$

ここに、

D_p : 床版上面から塑性中立軸までの距離
 d : 鋼桁高
 t_s : 床版厚
 t_h : ハンチ高

2) Check Web Slenderness

$$\frac{2D_{cp}}{t_w} \leq 3.76 \sqrt{\frac{E}{F_{yc}}} = 3.76 \sqrt{\frac{200000}{355}} = 89.2 \text{ mm} \\ \geq D_{cp} = 0 \text{ mm} \quad \text{OK}$$

∴コンパクト断面のため $M_{ult} = M_p$ となる.

ここに、

$$D_{cp} : \text{塑性断面での圧縮を受けるウェブの高さ} \quad D_{cp} = D_p - t_s - t_h - t_{cf} \\ = 148.57 - 300 - 80 - 24 \\ = -255.4 \text{ mm} \rightarrow 0 \text{ mm}$$

t_w : ウェブ厚
 E : ヤング係数
 F_{yc} : 圧縮フランジの降伏応力
 t_{cf} : 圧縮フランジ厚

3) An additional check of section proportions

$$0.1 \leq \frac{I_{yc}}{I_y} = \frac{843750000}{2074462583} = 0.407 \leq 0.9 \quad \text{OK}$$

ここに、

I_{yc} : 圧縮フランジの弱軸まわりの断面二次モーメント

$$I_{yc} = 24 \times 750^3 / 12 = 843750000 \text{ mm}^4$$

I_y : 鋼桁の弱軸まわりの断面二次モーメント

$$I_y = 843750000 + 2926 \times 10^3 / 12 + 35 \times 750^3 / 12 \\ = 2074462583 \text{ mm}^4$$

4) 全塑性モーメント M_p の算出

		A(cm ²)	F _c ,F _y (N/mm ²)	F(kN)	y(mm)	F·y(kN·m)	Σy(mm)
SLAB	5166.1 x 149	7675.31	40	26096	74	1939	74
U.FLG	750 x 24	180.00	355	6390	392	2505	
WEB	2926 x 10	292.60	355	10387	1867	19393	2035
L.FLG	750 x 35	262.50	355	9319	3347.5	31195	

全塑性モーメントのアーム長

$$Z = 2035 - 74 = 1960 \text{ mm}$$

全塑性モーメント

$$M_p = 26096 \times 1960 \times 10^{-3} = 51154 \text{ kN}\cdot\text{m}$$

5) M_{ult} の算出

中間支点断面がノンコンパクト断面と仮定すると M_{ult} は下式となる.

$$M_{ult} = 1.3 R_h M_y \leq M_p$$

ここに,

$$R_h : 1.0$$

M_y : 降伏モーメント

$$M_y = 31751 \text{ kN}\cdot\text{m}$$

M_p : 全塑性モーメント

$$M_p = 51154 \text{ kN}\cdot\text{m}$$

$$1.3 \times 1.0 \times 31751 = 41277 \text{ kN}\cdot\text{m} < 51154 \text{ kN}\cdot\text{m}$$

$$\therefore M_{ult} = 41277 \text{ kN}\cdot\text{m} \text{ とする。}$$

(2) Q_{ult} の算出

Baslerの式により Q_{ult} を算出する.

$$\tau_y = \sigma_y / \sqrt{3} = 355 / \sqrt{3} = 204.96 \text{ N/mm}^2$$

$$Q_p = \tau_y \times b \times t_w = 204.96 \times 2926 \times 10 \times 10^{-3} = 5997 \text{ kN}$$

$$\alpha = 2.136$$

$$k_s = 5.34 + 4.00 \left(\frac{1}{2.136} \right)^2 = 6.22 \quad : \alpha \geq 1$$

$$k_s = 4.00 + 5.34 \left(\frac{1}{2.136} \right)^2 = \text{###} \quad : \alpha \leq 1$$

$$\begin{aligned} \tau_{cr}^e &= k_s \frac{\pi^2 E}{12(1-\mu^2)} \left(\frac{t_w}{b} \right)^2 \\ &= 6.22 \frac{\pi^2 E}{12(1-\mu^2)} \left(\frac{10}{2926} \right)^2 = 13 \text{ N/mm}^2 \end{aligned}$$

$$\begin{aligned} \tau_{cr} &= 13 \text{ N/mm}^2 & \tau_{cr}^e &\leq 0.8 \tau_y \\ &= \sqrt{(0.8 \times 204.96 \times 13)} = \text{###} \text{ N/mm}^2 & \tau_{cr}^e &> 0.8 \tau_y \end{aligned}$$

$$\frac{Q_{ult}}{Q_p} = \frac{\tau_{cr}}{\tau_y} + \frac{\sqrt{3}}{2} \cdot \frac{1 - \frac{\tau_{cr}}{\tau_y}}{\sqrt{(1 + \alpha^2)}}$$

$$\frac{Q_{ult}}{5997} = \frac{13}{204.96} + \frac{\sqrt{3}}{2} \cdot \frac{1 - \frac{13}{204.96}}{\sqrt{(1 + 2.136^2)}}$$

$$Q_{ult} = 2445 \text{ kN}$$

(3) 終局限界状態の照査

$$\left(\frac{1.7 \times 23852}{41277} \right)^4 + \left(\frac{1.7 \times 591}{2445} \right)^4 = 0.960 < 1.0$$

OK

(4) 使用限界状態の照査

$$11749 + 1420 + 10684 = 23852 \text{ kN}\cdot\text{m} < 31751 / 1.15 = 27610 \text{ kN}\cdot\text{m}$$

OK

完成時の照査 (SECT-5)

完成時においては下式を満足することを確認する。

- ・終局限界状態の照査

$$\left(\frac{1.7M}{M_{ult}} \right)^4 + \left(\frac{1.7Q}{Q_{ult}} \right)^4 < 1.0$$

ここに、

- M : 完成時における曲げモーメント
- Q : 完成時におけるせん断力
- M_{ult} : AASHTO LRFD により算出した終局曲げモーメント
- Q_{ult} : Basler式により算出した終局せん断力

- ・使用限界状態の照査

$$M_{D1} + M_{D2} + M_L < M_y / 1.15$$

ここに、

- M_{D1} : 合成前死荷重による曲げモーメント
- M_{D2} : 合成後死荷重による曲げモーメント
- M_L : 活荷重による曲げモーメント
- M_y : 降伏モーメント

1. 設計条件

- ・支間長

$$50.000 \text{ m} + 50.000 \text{ m} + 50.000 \text{ m}$$

- ・桁配置

張り出し長	2.450 m
床版支間	5.500 m

- ・床版

床版厚	300 mm	
ハンチ高	80 mm	
設計基準強度	40 N/mm ²	
中間支点付近		
材質	SD345	
降伏応力	345 N/mm ²	
橋軸方向鉄筋 (上段)	D22 @ 100	d' = 67.5 mm
橋軸方向鉄筋 (下段)	D22 @ 100	d = 232.5 mm

- ・主桁

材質	SM490Y		
降伏応力	355 N/mm ²		
上フランジ	750 mm x 24 mm	パネル数	4
ウェブ	2926 mm x 18 mm	α	= 0.534
下フランジ	800 mm x 45 mm		
断面積	1066.7 cm ²		

- ・横桁

横桁間隔	6250 mm
------	---------

- ・荷重係数 (降伏モーメント算出時)

合成前・後死荷重に対して	1.30
合成後活荷重および衝撃に対して	2.00

・断面力

負曲げ部

	曲げモーメント (kN・m)	せん断力 (kN)	照査結果		照査結果 (使用)		
合成前死荷重	-13403.9	-	M_{ult}	40602	0.970	M_{total}	23167
合成後死荷重	-1587.4	-	Q_{ult}	10179	0.547	$M_y/1.15$	37272
活荷重	-8176.1	-	判定		0.975	判定	0.6216
合計	-23167.4	3274.7	OK			OK	

2. 床版有効幅

床版の有効幅は道路橋示方書Ⅱ10.3.5により算出する。

支点上

・張出側

$$\begin{aligned}l &= 0.200 \times (50.000 + 50.000) = 20.000 \text{ m} \\b &= 2.450 - 0.750 / 2 - 0.080 = 1.995 \text{ m} \\b/l &= 1.995 / 20.000 = 0.100\end{aligned}$$

$$\begin{aligned}\lambda &= \text{***} \text{ m} && (b/l \leq 0.02) \\&= \left\{ 1.06 - 3.2 \times \left(\frac{1.995}{20.000} \right) \right. \\&\quad \left. + 4.5 \times \left(\frac{1.995}{20.000} \right)^2 \right\} \times 1.995 = 1.5672 \text{ m} && (0.02 < b/l < 0.30) \\&= 0.15 \times 1.995 = \text{***} \text{ m} && (0.30 \leq b/l)\end{aligned}$$

・支間側

$$\begin{aligned}l &= 0.200 \times (50.000 + 50.000) = 20.000 \text{ m} \\b &= 5.500 / 2 - 0.750 / 2 - 0.080 = 2.295 \text{ m} \\b/l &= 2.295 / 20.000 = 0.115\end{aligned}$$

$$\begin{aligned}\lambda &= \text{***} \text{ m} && (b/l \leq 0.02) \\&= \left\{ 1.06 - 3.2 \times \left(\frac{2.295}{20.000} \right) \right. \\&\quad \left. + 4.5 \times \left(\frac{2.295}{20.000} \right)^2 \right\} \times 2.295 = 1.726 \text{ m} && (0.02 < b/l < 0.30) \\&= 0.15 \times 2.295 = \text{***} \text{ m} && (0.30 \leq b/l)\end{aligned}$$

$$\therefore \text{床版の有効幅 } b_e = 1.5672 + 1.726 + 0.750 + 2 \times 0.080 = 4.2032 \text{ m}$$

3. 断面諸元

負曲げに対して

(1) 合成前断面

			A(cm ²)	y(cm)	Ay(cm ³)	Ay ² (cm ⁴)	I(cm ⁴)
U.FLG	750	x 24	180.00	-147.5	-26550	3916125	86
WEB	2926	x 18	526.68	0	0	0	3757632
L.FLG	800	x 45	360.00	148.55	53478	7944156.9	608
			1066.68		26928	11860282	3758326

$$\begin{aligned} \text{偏心率} \quad \delta &= 26928 / 1067 = 25.245 \text{ cm} \\ \text{断面二次モーメント} \quad I &= 15618608 - 1067 \times 25.245^2 = 14938819 \text{ cm}^4 \\ \text{断面係数 (主桁上縁)} \quad W_{\text{top of steel 1}} &= 14938819 / 173.945 = 85883 \text{ cm}^3 \\ \text{断面係数 (主桁下縁)} \quad W_{\text{bottom of steel 1}} &= 14938819 / 125.555 = 118982 \text{ cm}^3 \end{aligned}$$

(2) 合成後断面 (鋼桁+鉄筋)

			A(cm ²)	y(cm)	Ay(cm ³)	Ay ² (cm ⁴)	I(cm ⁴)
上鉄筋	42	x D22	162.58	-179.95	-29257	5264730.7	-
下鉄筋	42	x D22	162.58	-163.45	-26574	4343524.9	-
U.FLG	750	x 24	180.00	-147.5	-26550	3916125	86
WEB	2926	x 18	526.68	0	0	0	3757632
L.FLG	800	x 45	360.00	148.55	53478	7944156.9	608
			1391.84		-28903	21468537	3758326

$$\begin{aligned} \text{偏心率} \quad \delta &= -28903 / 1391.84 = -20.766 \text{ cm} \\ \text{断面二次モーメント} \quad I &= 25226863 - 1391.84 \times (-20.766)^2 = 24626678 \text{ cm}^4 \\ \text{断面係数 (上段鉄筋)} \quad W_{\text{bar}} &= 24626678 / 159.184 = 154705 \text{ cm}^3 \\ \text{断面係数 (主桁上縁)} \quad W_{\text{top of steel 3}} &= 24626678 / 127.934 = 192495 \text{ cm}^3 \\ \text{断面係数 (主桁下縁)} \quad W_{\text{bottom of steel 3}} &= 24626678 / 171.566 = 143541 \text{ cm}^3 \end{aligned}$$

(3) 降伏モーメント

$$\begin{aligned} M_y &= \left(\sigma_y - 1.30 \times M_{d1} / W_{\text{bottom of steel 1}} - 1.30 \times M_{d2} / W_{\text{bottom of steel 3}} \right) \\ &\quad \times W_{\text{bottom of steel 3}} + M_{d1} + M_{d2} \\ &= \left(355 - 1.30 \times 13403900000 / 118981970 \right. \\ &\quad \left. - 1.30 \times 1587400000 / 143540777 \right) \times 143540777 \\ &\quad + 13403900000 + 1587400000 = 42862915310 \text{ N}\cdot\text{mm} = 42863 \text{ kN}\cdot\text{m} \end{aligned}$$

4. 負曲げ断面の照査

(1) M_{ult} の算出

三上の式により M_{ult} を算出する。

1) ψ の算出

$$\psi = - y_t / y_c = - 125.53 / 167.07 = -0.751$$

2) $\sigma_{ult,f}$ の算出

i) 横座屈により決定するフランジの終局応力度

$$\begin{aligned} \sigma_{cr f,1}^e &= \frac{\pi^2 E}{12} \left(\frac{b_f}{L} \right)^2 \\ &= \frac{\pi^2 E}{12} \left(\frac{800}{6250} \right)^2 = 2695.1 \text{ N/mm}^2 \end{aligned}$$

$$\lambda = \sqrt{(\sigma_{yf} / \sigma_{cr f,1}^e)} = \sqrt{(355 / 2695.1)} = 0.3629$$

$$\begin{aligned} \sigma_{ult,1} / \sigma_{yf} &= ### \\ &= 1 - 0.412 (0.3629 - 0.2) = 0.9329 \quad \begin{array}{l} \lambda \leq 0.2 \\ 0.2 < \lambda < \sqrt{2} \end{array} \end{aligned}$$

$$\sigma_{ult,1} = 0.9329 \times 355 = 331 \text{ N/mm}^2$$

ii) ねじれ座屈 (板の局部座屈) により決定するフランジの終局応力度

$$\begin{aligned} \sigma_{cr f,2}^e &= k_c \frac{\pi^2 E}{12(1-\nu^2)} \left(\frac{t_f}{b_f/2} \right)^2 \quad \text{※ } k_c = 0.425 \\ &= 0.425 \frac{\pi^2 E}{12(1-\nu^2)} \left(\frac{45}{400} \right)^2 = 972 \text{ N/mm}^2 \end{aligned}$$

$$\lambda = \sqrt{(\sigma_{yf} / \sigma_{cr f,2}^e)} = \sqrt{(355 / 972)} = 0.604$$

$$\begin{aligned} \sigma_{ult,1} / \sigma_{yf} &= 1 \\ &= (0.7 / 0.604)^{0.64} = ### \quad \begin{array}{l} \lambda \leq 0.7 \\ 0.7 < \lambda \end{array} \end{aligned}$$

$$\sigma_{ult,2} = 1 \times 355 = 355 \text{ N/mm}^2$$

∴ $\sigma_{ult,f} = 331 \text{ N/mm}^2$ とする。

3) $\sigma_{ult,w}$ の算出

i) $\psi = -1$ (曲げ) のとき

$$\begin{aligned} \sigma_{cr}^e &= k_1 \frac{\pi^2 E}{12(1-\nu^2)} \left(\frac{t_w}{h_w} \right)^2 \quad \text{※ } k_1 = 23.9 \\ &= 23.9 \frac{\pi^2 E}{12(1-\nu^2)} \left(\frac{18}{2926} \right)^2 = 163 \text{ N/mm}^2 \end{aligned}$$

$$\lambda = \sqrt{(\sigma_{yw} / \sigma_{cr}^e)} = \sqrt{(355 / 163)} = 1.474$$

$$\begin{aligned}\sigma_{ult,b}/\sigma_{yw} &= \text{###} & \lambda < 1.0 \\ &= (1.0 / 1.474)^{0.72} = 0.7564 & 1.0 < \lambda\end{aligned}$$

$$\sigma_{ult,b} = 0.7564 \times 355 = 269 \text{ N/mm}^2$$

ii) $-7 < \psi < -1$ (曲げ、引張り) のとき

$$\begin{aligned}\sigma_{cr}^e &= k_1 \frac{\pi^2 E}{12(1-\nu^2)} \left(\frac{t_w}{h_w}\right)^2 & \times k_1 &= 23.9 \left(\frac{1 - (-0.751)}{2}\right)^2 \\ &= 18.3 \frac{\pi^2 E}{12(1-\nu^2)} \left(\frac{18}{2926}\right)^2 & &= 125 \text{ N/mm}^2\end{aligned}$$

$$\lambda = \sqrt{(\sigma_{yw}/\sigma_{cr}^e)} = \sqrt{(355 / 125)} = 1.683$$

$$\begin{aligned}\sigma_{ult}/\sigma_{yw} &= \text{###} & \lambda < 1.0 \\ &= (1.0 / 1.683)^{0.72} = 0.6875 & 1.0 < \lambda\end{aligned}$$

$$\sigma_{ult} = 0.6875 \times 355 = 244 \text{ N/mm}^2$$

iii) $\psi=1$ (圧縮) のとき

$$\begin{aligned}\sigma_{cr}^e &= k_1 \frac{\pi^2 E}{12(1-\nu^2)} \left(\frac{t_w}{h_w}\right)^2 & \times k_1 &= 4.0 \\ &= 4.0 \frac{\pi^2 E}{12(1-\nu^2)} \left(\frac{18}{2926}\right)^2 & &= 27 \text{ N/mm}^2\end{aligned}$$

$$\lambda = \sqrt{(\sigma_{yw}/\sigma_{cr}^e)} = \sqrt{(355 / 27)} = 3.602$$

$$\begin{aligned}\sigma_{ult,c}/\sigma_{yw} &= \text{###} & \lambda < 0.7 \\ &= (0.7 / 3.602)^{0.86} = 0.2444 & 0.7 < \lambda\end{aligned}$$

$$\sigma_{ult,c} = 0.2444 \times 355 = 87 \text{ N/mm}^2$$

iv) $-1 < \psi < 1$ (曲げ、圧縮) のとき

$$\begin{aligned}\sigma_{ult} &= \frac{1}{\frac{1 + \psi}{2\sigma_{ult,c}} + \frac{1 - \psi}{2\sigma_{ult,b}}} \\ &= \frac{1}{\frac{1 + (-0.751)}{2 \times 87} + \frac{1 + (-0.751)}{2 \times 269}} = 213 \text{ N/mm}^2\end{aligned}$$

$$\psi = -0.751 \text{ より } \sigma_{ult,w} = 213 \text{ N/mm}^2 \text{ とする。}$$

4) M_{ult} の算出

i) $\sigma_{ult,f} \leq \sigma_{ult,w}$ (圧縮フランジ強度 \leq ウェブ強度) のとき

$$\frac{M_{ult}}{M_y} = \frac{\sigma_{ult,f}}{\sigma_{yf}}$$

$$\frac{M_{ult}}{42863} = \frac{331}{355}$$

$$M_{ult} = 39986 \text{ kN}\cdot\text{m}$$

ii) $\sigma_{ult,f} > \sigma_{ult,w}$ (圧縮フランジ強度 > ウェブ強度) のとき

$$\frac{M_{ult}}{M_y} = \frac{\sigma_{ult,w}}{\sigma_{yf}} \left\{ 1 + \frac{(1-\psi) \left(\frac{\sigma_{ult,f}}{\sigma_{ult,w}} - 1 \right)}{1 + \psi^2 \frac{A_{ft}}{A_{fc}} + (1+\psi + \psi^2) \frac{A_w}{3A_{fc}}} \right\}$$

$$\frac{M_{ult}}{42863} = \frac{213}{355} \left\{ 1 + \frac{(1-\psi) \left(\frac{331}{213} - 1 \right)}{1 + \psi^2 \frac{18000}{36000} + (1+\psi + \psi^2) \frac{52668}{108000}} \right\}$$

$$M_{ult} = 40602 \text{ kN}\cdot\text{m}$$

$\sigma_{ult,f} > \sigma_{ult,w}$ より $M_{ult} = 40602 \text{ kN}\cdot\text{m}$ とする。

(2) Q_{ult} の算出

Baslerの式により Q_{ult} を算出する。

$$\tau_y = \sigma_y / \sqrt{3} = 355 / \sqrt{3} = 204.96 \text{ N/mm}^2$$

$$Q_p = \tau_y \times b \times t_w = 204.96 \times 2926 \times 18 \times 10^{-3} = 10795 \text{ kN}$$

$$\alpha = 0.534$$

$$k_s = 5.34 + 4.00 \left(\frac{1}{0.534} \right)^2 = \text{###} \quad : \alpha \geq 1$$

$$k_s = 4.00 + 5.34 \left(\frac{1}{0.534} \right)^2 = 22.73 \quad : \alpha \leq 1$$

$$\begin{aligned} \tau_{cr}^e &= k_s \frac{\pi^2 E}{12(1-\mu^2)} \left(\frac{t_w}{b} \right)^2 \\ &= 22.73 \frac{\pi^2 E}{12(1-\mu^2)} \left(\frac{18}{2926} \right)^2 = 155 \text{ N/mm}^2 \end{aligned}$$

$$\begin{aligned} \tau_{cr} &= 155 \text{ N/mm}^2 & \tau_{cr}^e &\leq 0.8 \tau_y \\ &= \sqrt{0.8 \times 204.96 \times 155} = \text{###} \text{ N/mm}^2 & \tau_{cr}^e &> 0.8 \tau_y \end{aligned}$$

$$\frac{Q_{ult}}{Q_p} = \frac{\tau_{cr}}{\tau_y} + \frac{\sqrt{3}}{2} \cdot \frac{1 - \frac{\tau_{cr}}{\tau_y}}{\sqrt{1 + \alpha^2}}$$

$$\frac{Q_{ult}}{10795} = \frac{155}{204.96} + \frac{\sqrt{3}}{2} \cdot \frac{1 - \frac{155}{204.96}}{\sqrt{1 + 0.534^2}}$$

$$Q_{ult} = 10179 \text{ kN}$$

(3) 終局限界状態の照査

$$\left(\frac{1.7 \times 23167}{40602} \right)^4 + \left(\frac{1.7 \times 3275}{10179} \right)^4 = 0.975 < 1.0$$

OK

(4) 使用限界状態の照査

$$13404 + 1587 + 8176 = 23167 \text{ kN}\cdot\text{m} < 42863 / 1.15 = 37272 \text{ kN}\cdot\text{m}$$

OK

3.5 数量の算出

3.5.1 算出条件

- (1) 主桁断面に関する数量を算出する.
- (2) 横桁, 添接板については考慮しない.

3.5.2 数量算出結果

各設計法での主桁数量算出結果を下表に示す. 数量算出の詳細については次頁以降に示す.

表-3.5.1 工数算定要素集計表

				従来設計法	JH少補剛 薄板設計	波形鋼板 ウェブ	限界状態設計法
大型材片	材片数		個	84	84	84	84
	材片重量	1	kg	216,388	238,274	204,410	183,348
小型材片	材片数		個	388	206		146
	材片重量	2	kg	16,944	9,720		6,432
部材数		5	個	28	28	28	28
対傾構	加工鋼重	3	kg	---	---	---	---
	部材数	7	個	---	---	---	---
加工鋼重		1+2+3	kg	233,332	247,994	204,410	189,780
部材数		5+7	個	28	28	28	28
板継溶接延長			m	---	---	---	---
大型材T継手溶接延長			m	1,206	1,206	1,368	1,206

数量総括表（従来設計法）

種別	材片	幅 (mm)	板厚 (mm)	長さ (mm)	員数	単位重量 (kg/m3)	1個当たり重量 (kg/ヶ)	重量 (kg)	材質	摘要
(SECT-1)			員数2							
PL	B	750	25	12119	2	7850	1784	3568	SM490YB	U.FLG
PL	B	2925	15	12119	2	7850	4174	8348	SM490YA	WEB
PL	B	750	28	12119	2	7850	1998	3996	SM490YB	L.FLG
PL	S	180	14	2925	16	7850	58	928	SM400A	V.STIFF
PL	S	160	13	1490	14	7850	24	336	SM400A	H.STIFF
(SECT-2)			員数2							
PL	B	750	26	10937	2	7850	1674	3348	SM490YB	U.FLG
PL	B	2924	15	10937	2	7850	3766	7532	SM490YA	WEB
PL	B	750	38	10937	2	7850	2447	4894	SM490YB	L.FLG
PL	S	180	14	2924	14	7850	58	812	SM400A	V.STIFF
PL	S	160	13	1490	12	7850	24	288	SM400A	H.STIFF
(SECT-3)			員数2							
PL	B	750	26	10938	2	7850	1674	3348	SM490YB	U.FLG
PL	B	2924	15	10938	2	7850	3766	7532	SM490YA	WEB
PL	B	750	38	10938	2	7850	2447	4894	SM490YB	L.FLG
PL	S	180	14	2924	14	7850	58	812	SM400A	V.STIFF
PL	S	160	13	1490	12	7850	24	288	SM400A	H.STIFF
(SECT-4)			員数2							
PL	B	750	23	10937	2	7850	1481	2962	SM490YB	U.FLG
PL	B	2927	15	10937	2	7850	3769	7538	SM490YA	WEB
PL	B	750	32	10937	2	7850	2061	4122	SM490YB	L.FLG
PL	S	180	14	2927	14	7850	58	812	SM400A	V.STIFF
PL	S	160	13	1490	18	7850	24	432	SM400A	H.STIFF
(SECT-5)			員数2							
PL	B	750	29	10938	2	7850	1868	3736	SM490YB	U.FLG
PL	B	2921	20	10938	2	7850	5016	10032	SM490YB	WEB
PL	B	800	50	10938	2	7850	3435	6870	SM520C-H	L.FLG
PL	S	220	17	2921	14	7850	86	1204	SM400A	V.STIFF
PL	S	190	15	1490	14	7850	33	462	SM400A	H.STIFF
(SECT-6)			員数2							
PL	B	750	23	9375	2	7850	1269	2538	SM490YB	U.FLG
PL	B	2927	15	9375	2	7850	3231	6462	SM490YA	WEB
PL	B	750	36	9375	2	7850	1987	3974	SM490YB	L.FLG
PL	S	180	14	2927	12	7850	58	696	SM400A	V.STIFF
PL	S	160	13	1490	16	7850	24	384	SM400A	H.STIFF
(SECT-7)										
PL	B	750	23	9375	1	7850	1269	1269	SM490YB	U.FLG
PL	B	2927	15	9375	1	7850	3231	3231	SM490YA	WEB
PL	B	750	23	9375	1	7850	1269	1269	SM490YB	L.FLG
PL	S	180	14	2927	6	7850	58	348	SM400A	V.STIFF
PL	S	160	13	1490	5	7850	24	120	SM400A	H.STIFF
(SECT-8)										
PL	B	750	23	10937	1	7850	1481	1481	SM490YB	U.FLG
PL	B	2927	15	10937	1	7850	3769	3769	SM490YA	WEB
PL	B	750	23	10937	1	7850	1481	1481	SM490YB	L.FLG
PL	S	180	14	2927	7	7850	58	406	SM400A	V.STIFF
PL	S	160	13	1490	6	7850	24	144	SM400A	H.STIFF
合計（主桁1本分）								116666	kg	

数量總括表（從來設計法）

鋼材数量總括表（全橋分）						
PL	SM520C-H	50	13740			
		小計	13740			
PL	SM490YB	38	19576			
		36	7948			
		32	8244			
		29	7472			
		28	7992			
		26	13392	64624		
		25	7136			
		23	22000			
		20	20064	49200		
		小計	113824			
PL	SM490YA	15	88824			
		小計	88824			
PL	SM400A	17	2408			
		15	924			
		14	9628			
		13	3984			
		小計	16944			
	合計		233332	kg		
積算用数量總括表（全橋分）						
	大型材片数				84	個
	大型材片重量				216,388	kg
	小型材片数				388	個
	小型材片重量				16,944	kg
	加工重量				233,332	kg
	内570K鋼重量				0	kg
	T継手溶接長				1,206	m
	部材数				28	個

数量総括表 (JH少補剛薄板設計)

種別	材片	幅 (mm)	板厚 (mm)	長さ (mm)	員数	単位重量 (kg/m3)	1個あたり重量 (kg/ヶ)	重量 (kg)	材質	摘要
(SECT-1)			員数2							
PL	B	750	24	12119	2	7850	1712	3424	SM490YB	U.FLG
PL	B	2926	21	12119	2	7850	5846	11692	SM490YB	WEB
PL	B	750	24	12119	2	7850	1712	3424	SM490YB	L.FLG
PL	S	180	14	2926	4	7850	58	232	SM400A	V.STIFF
(SECT-2)			員数2							
PL	B	750	26	10937	2	7850	1674	3348	SM490YB	U.FLG
PL	B	2924	21	10937	2	7850	5272	10544	SM490YB	WEB
PL	B	750	38	10937	2	7850	2447	4894	SM490YB	L.FLG
PL	S	180	14	2924	4	7850	58	232	SM400A	V.STIFF
(SECT-3)			員数2							
PL	B	750	25	10938	2	7850	1610	3220	SM490YB	U.FLG
PL	B	2925	21	10938	2	7850	5274	10548	SM490YB	WEB
PL	B	750	35	10938	2	7850	2254	4508	SM490YB	L.FLG
PL	S	180	14	2925	4	7850	58	232	SM400A	V.STIFF
(SECT-4)			員数2							
PL	B	750	23	10937	2	7850	1481	2962	SM490YB	U.FLG
PL	B	2927	15	10937	2	7850	3769	7538	SM490YA	WEB
PL	B	750	32	10937	2	7850	2061	4122	SM490YB	L.FLG
PL	S	180	14	2927	14	7850	58	812	SM400A	V.STIFF
PL	S	160	13	1490	18	7850	24	432	SM400A	H.STIFF
(SECT-5)			員数2							
PL	B	750	29	10938	2	7850	1868	3736	SM490YB	U.FLG
PL	B	2921	20	10938	2	7850	5016	10032	SM490YB	WEB
PL	B	800	50	10938	2	7850	3435	6870	SM520C-H	L.FLG
PL	S	220	17	2921	14	7850	86	1204	SM400A	V.STIFF
PL	S	190	15	1490	14	7850	33	462	SM400A	H.STIFF
(SECT-6)			員数2							
PL	B	750	23	9375	2	7850	1269	2538	SM490YB	U.FLG
PL	B	2927	15	9375	2	7850	3231	6462	SM490YA	WEB
PL	B	750	36	9375	2	7850	1987	3974	SM490YB	L.FLG
PL	S	180	14	2927	12	7850	58	696	SM400A	V.STIFF
PL	S	160	13	1490	16	7850	24	384	SM400A	H.STIFF
(SECT-7)										
PL	B	750	23	9375	1	7850	1269	1269	SM490YB	U.FLG
PL	B	2927	21	9375	1	7850	4524	4524	SM490YB	WEB
PL	B	750	23	9375	1	7850	1269	1269	SM490YB	L.FLG
PL	S	180	14	2927	1	7850	58	58	SM400A	V.STIFF
(SECT-8)										
PL	B	750	23	10937	1	7850	1481	1481	SM490YB	U.FLG
PL	B	2927	21	10937	1	7850	5277	5277	SM490YB	WEB
PL	B	750	23	10937	1	7850	1481	1481	SM490YB	L.FLG
PL	S	180	14	2927	2	7850	58	116	SM400A	V.STIFF
合計 (主桁1本分)								123997	kg	

数量總括表 (JH少補剛薄板設計)

鋼材数量總括表 (全橋分)								
PL	SM520C-H	50	13740					
		小計	13740					
PL	SM490YB	38	9788					
		36	7948					
		35	9016					
		32	8244					
		29	7472					
		26	6696	49164				
		25	6440					
		24	13696					
		23	22000					
		21	85170					
		20	20064	147370				
		小計	196534					
PL	SM490YA	15	28000					
		小計	28000					
PL	SM400A	17	2408					
		15	924					
		14	4756					
		13	1632					
		小計	9720					
合計			247994	kg				
積算用数量總括表 (全橋分)								
大型材片数						84	個	
大型材片重量						238,274	kg	
小型材片数						206	個	
小型材片重量						9,720	kg	
加工重量						247,994	kg	
内570K鋼重量						0	kg	
T継手溶接長						1,206	m	
部材数						28	個	

数量総括表 (波形：フランジ)

種別	材片	幅 (mm)	板厚 (mm)	長さ (mm)	員数	単位重量 (kg/m3)	1個当たり重量 (kg/ヶ)	重量 (kg)	材質	摘要	
(SECT-1)			員数2								
PL	B	750	28	12119	2	7850	1998	3996	SM490YB	U.FLG	
PL	B	2925	9	13747	0	7850	2841	0	SM490YA	WEB	
PL	B	750	40	12119	2	7850	2854	5708	SM490YB	L.FLG	
(SECT-2)			員数2								
PL	B	750	30	10937	2	7850	1932	3864	SM490YB	U.FLG	
PL	B	2924	9	12406	0	7850	2563	0	SM490YA	WEB	
PL	B	750	50	10937	2	7850	3220	6440	SM520C-H	L.FLG	
(SECT-3)			員数2								
PL	B	750	30	10938	2	7850	1932	3864	SM490YB	U.FLG	
PL	B	2924	9	12408	0	7850	2563	0	SM490YA	WEB	
PL	B	750	50	10938	2	7850	3220	6440	SM520C-H	L.FLG	
(SECT-4)			員数2								
PL	B	750	25	10937	2	7850	1610	3220	SM490YB	U.FLG	
PL	B	2927	10	12406	0	7850	2851	0	SM490YA	WEB	
PL	B	750	35	10937	2	7850	2254	4508	SM490YB	L.FLG	
(SECT-5)			員数2								
PL	B	750	41	10938	2	7850	2640	5280	SM490YB	U.FLG	
PL	B	2921	12	12408	0	7850	3414	0	SM490YA	WEB	
PL	B	800	59	10938	2	7850	4053	8106	SM520C-H	L.FLG	
(SECT-6)			員数2								
PL	B	750	23	9375	2	7850	1269	2538	SM490YB	U.FLG	
PL	B	2927	9	10635	0	7850	2199	0	SM490YA	WEB	
PL	B	750	42	9375	2	7850	2318	4636	SM520C-H	L.FLG	
(SECT-7)											
PL	B	750	23	9375	1	7850	1269	1269	SM490YB	U.FLG	
PL	B	2927	9	10635	0	7850	2199	0	SM490YA	WEB	
PL	B	750	27	9375	1	7850	1490	1490	SM490YB	L.FLG	
(SECT-8)											
PL	B	750	23	10937	1	7850	1481	1481	SM490YB	U.FLG	
PL	B	2927	9	12406	0	7850	2565	0	SM490YA	WEB	
PL	B	750	27	10937	1	7850	1739	1739	SM490YB	L.FLG	
								合計 (主桁1本分)	64579	kg	

数量総括表（波形：フランジ）

鋼材数量総括表（全橋分）				
PL	SM520C-H	59	16212	
		50	25760	
		42	9272	
		41	10560	45592
		小計	61804	
PL	SM490YB	40	11416	
		35	9016	
		30	15456	
		28	7992	
		27	6458	38922
		25	6440	
		23	10576	17016
		小計	67354	
PL	SM490YA	12	0	
		10	0	
		9	0	
		小計	0	
	合計		129158	kg
積算用数量総括表（全橋分）				
	大型材片数			56 個
	大型材片重量			129,158 kg
	小型材片数			0 個
	小型材片重量			0 kg
	加工重量			129,158 kg
	内570K鋼重量			0 kg
	T継手溶接長			0 m
	部材数			28 個

数量総括表（波形：ウェブ）

種別	材片	幅 (mm)	板厚 (mm)	長さ (mm)	員数	単位重量 (kg/m ³)	1個当たり重量 (kg/ヶ)	重量 (kg)	材質	摘要
(SECT-1)			員数2							
PL	B	750	28	12119	0	7850	1998	0	SM490YB	U.FLG
PL	B	2925	9	13747	2	7850	2841	5682	SM490YA	WEB
PL	B	750	40	12119	0	7850	2854	0	SM490YB	L.FLG
(SECT-2)			員数2							
PL	B	750	30	10937	0	7850	1932	0	SM490YB	U.FLG
PL	B	2924	9	12406	2	7850	2563	5126	SM490YA	WEB
PL	B	750	50	10937	0	7850	3220	0	SM520C-H	L.FLG
(SECT-3)			員数2							
PL	B	750	30	10938	0	7850	1932	0	SM490YB	U.FLG
PL	B	2924	9	12408	2	7850	2563	5126	SM490YA	WEB
PL	B	750	50	10938	0	7850	3220	0	SM520C-H	L.FLG
(SECT-4)			員数2							
PL	B	750	25	10937	0	7850	1610	0	SM490YB	U.FLG
PL	B	2927	10	12406	2	7850	2851	5702	SM490YA	WEB
PL	B	750	35	10937	0	7850	2254	0	SM490YB	L.FLG
(SECT-5)			員数2							
PL	B	750	41	10938	0	7850	2640	0	SM490YB	U.FLG
PL	B	2921	12	12408	2	7850	3414	6828	SM490YA	WEB
PL	B	800	59	10938	0	7850	4053	0	SM520C-H	L.FLG
(SECT-6)			員数2							
PL	B	750	23	9375	0	7850	1269	0	SM490YB	U.FLG
PL	B	2927	9	10635	2	7850	2199	4398	SM490YA	WEB
PL	B	750	42	9375	0	7850	2318	0	SM520C-H	L.FLG
(SECT-7)										
PL	B	750	23	9375	0	7850	1269	0	SM490YB	U.FLG
PL	B	2927	9	10635	1	7850	2199	2199	SM490YA	WEB
PL	B	750	27	9375	0	7850	1490	0	SM490YB	L.FLG
(SECT-8)										
PL	B	750	23	10937	0	7850	1481	0	SM490YB	U.FLG
PL	B	2927	9	12406	1	7850	2565	2565	SM490YA	WEB
PL	B	750	27	10937	0	7850	1739	0	SM490YB	L.FLG
合計（主桁1本分）								37626	kg	

数量総括表 (波形: ウェブ)

鋼材数量総括表 (全橋分)				
PL	SM520C-H	59	0	
		50	0	
		42	0	
		41	0	0
	小計		0	
PL	SM490YB	40	0	
		35	0	
		30	0	
		28	0	
		27	0	0
		25	0	
		23	0	0
	小計		0	
PL	SM490YA	12	13656	
		10	11404	
		9	50192	
	小計		75252	
合計			75252	kg
積算用数量総括表 (全橋分)				
大型材片数			28	個
大型材片重量			75,252	kg
小型材片数			0	個
小型材片重量			0	kg
加工重量			75,252	kg
内570K鋼重量			0	kg
T継手溶接長			1,368	m
部材数			28	個

数量総括表（限界状態設計法）

種別	材片	幅 (mm)	板厚 (mm)	長さ (mm)	員数	単位重量 (kg/m ³)	個当たり重 (kg/ヶ)	重量 (kg)	材質	摘要
(SECT-1)			員数2							
PL	B	750	24	12119	2	7850	1712	3424	SM490YB	U.FLG
PL	B	2926	9	12119	2	7850	2505	5010	SM490YA	WEB
PL	B	750	27	12119	2	7850	1926	3852	SM490YB	L.FLG
PL	S	120	10	2926	16	7850	28	448	SM400A	V.STIFF
(SECT-2)			員数2							
PL	B	750	24	10937	2	7850	1545	3090	SM490YB	U.FLG
PL	B	2926	10	10937	2	7850	2512	5024	SM490YA	WEB
PL	B	750	35	10937	2	7850	2254	4508	SM490YB	L.FLG
PL	S	120	10	2926	4	7850	28	112	SM400A	V.STIFF
(SECT-3)			員数2							
PL	B	750	24	10938	2	7850	1546	3092	SM490YB	U.FLG
PL	B	2926	12	10938	2	7850	3015	6030	SM490YA	WEB
PL	B	750	33	10938	2	7850	2125	4250	SM490YB	L.FLG
PL	S	120	10	2926	4	7850	28	112	SM400A	V.STIFF
PL	S	150	12	2926	2	7850	41	82	SM400A	V.STIFF
(SECT-4)			員数2							
PL	B	750	24	10937	2	7850	1545	3090	SM490YB	U.FLG
PL	B	2926	12	10937	2	7850	3015	6030	SM490YA	WEB
PL	B	750	29	10937	2	7850	1867	3734	SM490YB	L.FLG
PL	S	150	12	2926	14	7850	41	574	SM400A	V.STIFF
(SECT-5)			員数2							
PL	B	750	24	10938	2	7850	1546	3092	SM490YB	U.FLG
PL	B	2926	18	10938	2	7850	4522	9044	SM490YA	WEB
PL	B	800	45	10938	2	7850	3091	6182	SM520C-H	L.FLG
PL	S	210	17	2926	14	7850	82	1148	SM400A	V.STIFF
(SECT-6)			員数2							
PL	B	750	24	9375	2	7850	1325	2650	SM490YB	U.FLG
PL	B	2926	12	9375	2	7850	2584	5168	SM490YA	WEB
PL	B	750	32	9375	2	7850	1766	3532	SM490YB	L.FLG
PL	S	150	12	2926	12	7850	41	492	SM400A	V.STIFF
(SECT-7)										
PL	B	750	24	9375	1	7850	1325	1325	SM490YB	U.FLG
PL	B	2926	11	9375	1	7850	2369	2369	SM490YA	WEB
PL	B	750	24	9375	1	7850	1325	1325	SM490YB	L.FLG
PL	S	120	10	2926	1	7850	28	28	SM400A	V.STIFF
PL	S	150	12	2926	2	7850	41	82	SM400A	V.STIFF
(SECT-8)										
PL	B	750	24	10937	1	7850	1545	1545	SM490YB	U.FLG
PL	B	2926	11	10937	1	7850	2763	2763	SM490YA	WEB
PL	B	750	24	10937	1	7850	1545	1545	SM490YB	L.FLG
PL	S	120	10	2926	2	7850	28	56	SM400A	V.STIFF
PL	S	150	12	2926	2	7850	41	82	SM400A	V.STIFF
合計（主桁1本分）								94890	kg	

3.6 製作コスト算出

3.6.1 製作コスト算出方針

各設計法での数量算出結果より、コスト算出を行う。コスト算出方法および方針は基本的に文献4に準拠する。

- (1) 費用は、工場製作費（直接工事費+間接工事費）に着目する。
- (2) 直接工事費は、材料費と、製作費を計上する。耐候性橋梁を想定しているため、工場塗装費は考慮しない。
- (3) 間接工事費は、間接労務費（製作費の38%）、工場管理費（製作費+間接労務費の28.8%）を計上する。
- (4) 材料費は、鋼材費と副資材費を計上する。
- (5) 鋼材費はベース価格に対し、規格エキストラと寸法エキストラを計上する。
 ベース価格は文献5より75,000円/tとする。
 規格エキストラ、降伏点一定エキストラは文献5よりそれぞれ設定する。
 寸法エキストラは文献4のIV-7-①-2頁（ガーター形式）より1,500円/tとする。
- (6) 鋼種別単価（円/t）は次式により算出する。（表-3.6.1）

$$\text{鋼種別単価} = [\text{ベース価格} + \text{エキストラ}] \times (1 + \alpha) - 0.7 \times \alpha \times (\text{スクラップ単価})$$

$$\alpha : \text{鋼材の割増率（ロス率）で、鋼板の場合 } 10\%$$
 スクラップ単価は22,500円/tとする。

表-3.6.1 鋼種別単価表

材質	板厚	ベース単価	規格エキストラ	-Hエキストラ	寸法エキストラ	スクラップ	鋼種別単価
SM520C-H	50 < t ≤ 100	75,000	29,000	2,000	1,500	22,500	114,800
SM520C-H	38 < t ≤ 50	75,000	26,000	2,000	1,500	22,500	111,600
SM490YB	38 < t ≤ 50	75,000	22,000		1,500	22,500	105,100
SM490YB	25 < t ≤ 38	75,000	19,000		1,500	22,500	101,800
SM490YB	t ≤ 25	75,000	16,000		1,500	22,500	98,600
SM490YA	t ≤ 25	75,000	13,000		1,500	22,500	95,400
SM490A	t ≤ 50	75,000	12,000		1,500	22,500	94,300
SM400A	t ≤ 38	75,000	3,500		1,500	22,500	85,100

- (7) 副資材費は、工場製作にかかわる溶接材料及び消耗材料で、加工鋼重当り溶接材料込みで文献4のIV-7-①-4頁より11,300円/tとする。
- (8) 製作費は、本体の加工組立工数（Y1）、本体の溶接工数（Y2）、本体の仮組立工数（Y3）を計上する。対傾構組立工数（Y4）、付属物製作工数（Y5）は考慮しない。
- (9) 橋梁形式別標準工数は、文献6の「少数主桁」の値を用いる。
- (10) 本体の仮組立工数（Y3）には仮組立省略の補正係数ε（-41%）を考慮する。
- (11) 波型ウェブの製作工数は文献6により算出する。
- (12) 波型ウェブの製作工数算出条件は、鋼材の割増率（P1）は鋼板（1.08）、標準製作工数（P2）は上フランジ付き桁高変化なしの5.4とし、アングルジベル等は考慮しない。
- (13) 工数単価（直接労務費）は、文献4のIV-7-①-14頁より27,400円とする。

3.6.2 製作コスト算出結果

各設計法での主桁製作コスト算出結果を下表に示す。製作コスト算出の詳細については次頁以降に示す。

表-3.6.2 主桁製作コスト算出結果

		従来設計法	JH少補剛 薄板設計	波形鋼板 ウェブ	限界状態 設計法	備考
概算鋼重	t	233.332	247.994	204.410	189.780	
材料費	円	25,515,621	27,369,665	23,277,934	20,701,559	
製作費	円	14,679,002	13,030,070	19,193,426	10,706,276	波形のみ塗装費用を含む
間接労務費	円	5,578,020	4,951,426	7,293,501	4,068,384	製作費×0.38
工場管理費	円	5,834,022	5,178,670	7,628,234	4,255,102	(製作費+間接労務費)×0.288
合計	円	51,606,665	50,529,831	57,393,095	39,731,321	

従来設計法

材 料 費							
項 目	名 称	規 格	単 位	数 量	単 価	金 額	摘 要
鋼 板	SM520C-H	38<t≤50	t	13.740	111,600	1,533,384	
"	SM490YB	25<t≤38	"	64.624	101,800	6,578,723	
"	SM490YB	t≤25	"	49.200	98,600	4,851,120	
"	SM490YA	t≤25	"	88.824	95,400	8,473,809	
"	SM400A	t≤38	"	16.944	85,100	1,441,934	
副資材費			t	233.332	11,300	2,636,651	
計						25,515,621	

製 作 費							
連続钣桁							
項 目	名 称	規 格	単 位	数 量	単 価	金 額	摘 要
	直接労務費		人	535.73	27,400	14,679,002	
全体製作工数	$Y = \frac{\{(Y1+Y2) \times K + Y3 + Y4\} \times (1+\alpha) \times (1+\beta) \times (1+\gamma) \times (1+\delta) + Y5}{\text{工数}}$ $= 535.73$						
				Y1: 本体の加工組立工数	423.73		
				Y2: 本体の溶接工数	67.54		
				K: 570材相当品による影響割増	1.00		
				Y3: 本体の仮組立工数	44.46		
				体傾構及び横構組立工数	0.00		
				Y4: 付属物の製作工数	0		
				α: 重連による補正率	0.00%		
				斜橋または曲線橋による補正率	0.00%		
				β: 桁高変化による補正率	0.00%		
				平均			
				γ: 支間長による補正率	0.00%		
				δ: 平均			

製 作 費							
連続钣桁							
項 目	名 称	規 格	単 位	数 量	単 価	金 額	摘 要
	本体の 加工組立工数			$Y1 = A1 \times a1 \times K1 + A2 \times a2 \times K2$			
				= 423.73			
			A1:	大型材片数		84個	
			A2:	小型材片数		388個	
			a1:	大型 I 材片当りの橋梁 形式による標準工数		2.73	
			a2:	小型 I 材片当りの橋梁 形式による標準工数		0.48	
			K1:	大型 I 材片当りの 重量による影響係数	KG 216,388	1.06	X= 1.09
			K2:	小型 I 材片当りの 重量による影響係数	16,944	0.97	X= 0.96
	本体の溶接工数			$Y2 = B1 \times b1 / 10 + B2 \times b2 / 10$			
				= 67.54			
			B1:	大型大片板継溶接延長 大型大片		0m	
			B2:	T 継溶接延長(実長) 大型材片板継溶接10m当りの		1,206m	
			b1:	橋梁形式による標準工数		0.81	
			b2:	大型材片 T 継手溶接延長10m当りの 橋梁形式による標準工数		0.56	

製 作 費							
連続钣桁							
項 目	名 称	規 格	単 位	数 量	単 価	金 額	摘 要
	570材相当品 による影響割増			$K = 1 + W0 \times K3$			
				= 1.00			
			W0:	570材相当品の 本体加工鋼重に占める割合		0.00%	0kg233,332kg
			K3:	570材相当品 による影響係数		0.28	
	本体の 仮組立工数			$Y3 = C \times c \times K4 \times (1+\epsilon)$			
				= 44.46			
			C:	本体の全体部材数		28個	
			c:	部材の橋梁型式 による標準工数		1.95	
			K4:	I 部材当りの 重量による影響係数	KG 233,332	1.38	X= 1.46
			ε:	仮組立の簡略化による 工数低減		-41%	

連続鋼桁 製作費							
項目	名称	規格	単位	数量	単価	金額	摘要
	体傾構及び 横構組立工数						
				$Y4 = (C1 \times c1 \times K5) + (C2 \times c2 \times K5)$			
				=	0.00		
				C1: 体傾構部材数		0個	
				C2: 横構部材数 体傾構 1 部材		0個	
				c1: 当りの標準工数 横構 1 部材		0.00	
				c2: 当りの標準工数 (主桁高m x 主桁間隔m)		0.00	
				K5: 面積による影響係数	桁高 0.000m 桁間隔 0.000m	体傾構 0.00 横構 0.00	X= 0.00

連続鋼桁 製作費							
項目	名称	規格	単位	数量	単価	金額	摘要
	付属物の 製作工数						
				$Y5 = D \times d \times (1 + \alpha) \times (1 + \beta) + E \times e \times (1 + \beta) + F \times f \times (1 + \beta) + G \times g \times (1 + \alpha)$			
				=	0.00		
				D: 伸縮継手の加工鋼重		0.000t	
				d: 伸縮継手の標準工数		0.00	
				E: 高欄の加工鋼重		0.000t	
				e: 高欄の標準工数		0.00	
				F: 防護柵の加工鋼重		0.000t	
				f: 防護柵の標準工数		0.00	
				G: 検査路の加工鋼重		0.000t	
				g: 検査路の標準工数		0.00	
				α : 重連による補正率		0.00%	
				β : 斜橋による補正率		0.00%	
				β : 曲線橋による補正率		0.00%	

JH少補剛薄板設計

材 料 費							
項 目	名 称	規 格	単 位	数 量	単 価	金 額	摘 要
鋼 板	SM520C-H	38<t≤50	t	13.740	111,600	1,533,384	
〃	SM490YB	25<t≤38	〃	49.164	101,800	5,004,895	
〃	SM490YB	t≤25	〃	147.370	98,600	14,530,682	
〃	SM490YA	t≤25	〃	28.000	95,400	2,671,200	
〃	SM400A	t≤38	〃	9.720	85,100	827,172	
副資材費			t	247.994	11,300	2,802,332	
計						27,369,665	

製 作 費							
連続钣桁							
項 目	名 称	規 格	単 位	数 量	単 価	金 額	摘 要
	直接労務費		人	475.55	27,400	13,030,070	
全体製作工数	$Y = \{(Y1+Y2) \times K + Y3 + Y4\} \times (1+\alpha) \times (1+\beta) \times (1+\gamma) \times (1+\delta) + Y5$						
			工 数	475.55			
			Y1: 本体の加工組立工数		360.98		
			Y2: 本体の溶接工数		67.54		
			K: 570材相当品による影響割増		1.00		
			Y3: 本体の仮組立工数		47.03		
			体傾構				
			Y4: 及び横構組立工数		0.00		
			Y5: 付属物の製作工数		0		
			α: 重連による補正率		0.00%		
			斜橋または				
			β: 曲線橋による補正率		0.00%		
			γ: 桁高変化による補正率		0.00%		
			平均				
			δ: 支間長による補正率		0.00%		

製 作 費							
連続钣桁							
項 目	名 称	規 格	単 位	数 量	単 価	金 額	摘 要
	本体の 加工組立工数			$Y1 = A1 \times a1 \times K1 + A2 \times a2 \times K2$			
				= 360.98			
			A1:	大型材片数		84個	
			A2:	小型材片数		206個	
			a1:	大型 I 材片当りの橋梁 形式による標準工数		2.73	
			a2:	小型 I 材片当りの橋梁 形式による標準工数		0.48	
			K1:	大型 I 材片当りの 重量による影響係数	KG 238,274	1.13	X= 1.19
			K2:	小型 I 材片当りの 重量による影響係数	9,720	1.03	X= 1.04
	本体の溶接工数			$Y2 = B1 \times b1 / 10 + B2 \times b2 / 10$			
				= 67.54			
			B1:	大型大片板継溶接延長 大型大片		0m	
			B2:	T 継溶接延長(実長) 大型材片板継溶接10m当りの		1,206m	
			b1:	橋梁形式による標準工数		0.81	
			b2:	大型材片 T 継手溶接延長10m当りの 橋梁形式による標準工数		0.56	

製 作 費							
連続钣桁							
項 目	名 称	規 格	単 位	数 量	単 価	金 額	摘 要
	570材相当品 による影響割増			$K = 1 + W0 \times K3$			
				= 1.00			
			W0:	570材相当品の 本体加工鋼重に占める割合		0.00%	0kg247,994kg
			K3:	570材相当品 による影響係数		0.28	
	本体の 仮組立工数			$Y3 = C \times c \times K4 \times (1+\epsilon)$			
				= 47.03			
			C:	本体の全体部材数		28個	
			c:	部材の橋梁型式 による標準工数		1.95	
			K4:	I 部材当りの 重量による影響係数	KG 247,994	1.46	X= 1.56
			ε:	仮組立の簡略化による 工数低減		-41%	

製 作 費							
連続鉄桁							
項 目	名 称	規 格	単 位	数 量	単 価	金 額	摘 要
	対傾構及び 横構組立工数						
		Y4=	(C1 x c1 x K5) + (C2 x c2 x K5)				
		=	0.00				
		C1:	体傾構部材数			0個	
		C2:	横構部材数 体傾構 1 部材			0個	
		c1:	当りの標準工数 横構 1 部材			0.00	
		c2:	当りの標準工数 (主桁高m x 主桁間隔m)			0.00	
		K5:	面積による影響係数		桁高 0.000m	体傾構 0.00	X= 0.00
					桁間隔 0.000m	横 構 0.00	

製 作 費							
連続鉄桁							
項 目	名 称	規 格	単 位	数 量	単 価	金 額	摘 要
	付属物の 製作工数						
		Y5=	D x d x (1 + α) x (1 + β) + E x e x (1 + β) + F x f x (1 + β) + G x g x (1 + α)				
		=	0.00				
		D:	伸縮継手の加工鋼重			0.000t	
		d:	伸縮継手の標準工数			0.00	
		E:	高欄の加工鋼重			0.000t	
		e:	高欄の標準工数			0.00	
		F:	防護柵の加工鋼重			0.000t	
		f:	防護柵の標準工数			0.00	
		G:	検査路の加工鋼重			0.000t	
		g:	検査路の標準工数			0.00	
		α:	重連による補正率			0.00%	
		β:	斜橋による補正率			0.00%	
		β:	曲線橋による補正率			0.00%	

波形ウェブ

材 料 費							
項 目	名 称	規 格	単 位	数 量	単 価	金 額	摘 要
鋼 板	SM520C-H	50<t≤100	t	16.212	114,800	1,861,137	
"	SM520C-H	38<t≤50	"	45.592	111,600	5,088,067	
"	SM490YB	38<t≤50	"	11.416	105,100	1,199,821	
"	SM490YB	25<t≤38		38.922	101,800	3,962,259	
"	SM490YB	t≤25	"	17.016	98,600	1,677,777	
"	SM490YA	t≤25	"	75.252	95,400	7,179,040	
副資材費			t	204.410	11,300	2,309,833	
計						23,277,934	

製 作 費 (波 形 鋼 板)							
項 目	名 称	規 格	単 位	数 量	単 価	金 額	摘 要
	直接労務費		人	447	27,400	12,247,800	
			t	75.252			
			人日/t	7.4	上下フランジ付	桁高変化有り	
			人日/t	7.1	上下フランジ付	桁高変化無し	
			人日/t	5.7	上フランジ付	桁高変化有り	
			人日/t	5.4	上フランジ付	桁高変化無し	
			人日/t	14.8	アングルジベル		
			人日/t	9.1	パーフォンドジベル		
		質量割増し		0.10			

連続鋼桁 製作費 (上下フランジ)							
項目	名称	規格	単位	数量	単価	金額	摘要
	直接労務費		人	253.49	27,400	6,945,626	
全体製作工数	Y =	$\{(Y1+Y2) \times K + Y3 + Y4\} \times (1+\alpha) \times (1+\beta) \times (1+\gamma) \times (1+\delta) + Y5$					
	=	工数 253.49					
		Y1: 本体の加工組立工数			149.82		
		Y2: 本体の溶接工数			76.61		
		570材相当品 K: による影響割増			1.00		
		Y3: 本体の仮組立工数			27.06		
		体傾構 Y4: 及び横構組立工数			0.00		
		Y5: 付属物の製作工数			0		
		α: 重連による補正率			0.00%		
		斜橋または β: 曲線橋による補正率			0.00%		
		γ: 桁高変化による補正率			0.00%		
		平均 δ: 支間長による補正率			0.00%		

連続鋼桁 製作費 (上下フランジ)							
項目	名称	規格	単位	数量	単価	金額	摘要
	本体の加工組立工数	Y1 =		$A1 \times a1 \times K1 + A2 \times a2 \times K2$			
		=		149.82			
		A1: 大型材片数			56個		
		A2: 小型材片数			0個		
		a1: 形式による標準工数			2.73		
		a2: 形式による標準工数			0.48		
		K1: 重量による影響係数			KG 129,158	0.98	X= 0.97
		K2: 重量による影響係数			0	0.14	X= 0.00
	本体の溶接工数	Y2 =		$B1 \times b1 / 10 + B2 \times b2 / 10$			
		=		76.61			
		B1: 大型大片板継溶接延長			0m		
		大型大片 B2: T継溶接延長(実長)			1,368m		
		b1: 橋梁形式による標準工数			0.81		
		大型材片板継溶接10m当りの 大型材片T継手溶接延長10m当りの b2: 橋梁形式による標準工数			0.56		

連続鋼桁							
製 作 費 (上 下 フ ラ ン ジ)							
項 目	名 称	規 格	単 位	数 量	単 価	金 額	摘 要
	570材相当品 による影響割増						
		$K = 1 + W0 \times K3$					
		$= 1.00$					
		W0: 570材相当品の 本体加工鋼重に占める割合				0.00%	0kg ----- 129,158kg
		K3: 570材相当品 による影響係数				0.28	
	本体の 仮組立工数	$Y3 = C \times c \times K4 \times (1 + \varepsilon)$					
		$= 27.06$					
		C: 本体の全体部材数 部材の橋梁型式 による標準工数				28個	
		c: 1部材当りの 重量による影響係数			KG 129,158	1.95	X=
		K4: 仮組立の簡略化による 工数低減				0.84	0.81
		ε : 工数低減				-41%	

連続鋼桁							
製 作 費 (上 下 フ ラ ン ジ)							
項 目	名 称	規 格	単 位	数 量	単 価	金 額	摘 要
	体傾構及び 横構組立工数						
		$Y4 = (C1 \times c1 \times K5) + (C2 \times c2 \times K5)$					
		$= 0.00$					
		C1: 体傾構部材数				0個	
		C2: 横構部材数				0個	
		c1: 当りの標準工数				0.00	
		c2: 当りの標準工数				0.00	
		(主桁高m x 主桁間隔m) K5: 面積による影響係数			桁高 0.000m 桁間隔 0.000m	体傾構 0.00 横 構 0.00	X= 0.00

製 作 費 (上 下 フ ラ ン ジ)

連続桁

項 目	名 称	規 格	単 位	数 量	単 価	金 額	摘 要
	付属物の 製作工数						
		Y5=					
		=		0.00			
		D:	伸縮継手の加工鋼重			0.000t	
		d:	伸縮継手の標準工数			0.00	
		E:	高欄の加工鋼重			0.000t	
		e:	高欄の標準工数			0.00	
		F:	防護柵の加工鋼重			0.000t	
		f:	防護柵の標準工数			0.00	
		G:	検査路の加工鋼重			0.000t	
		g:	検査路の標準工数			0.00	
		α:	重連による補正率			0.00%	
		β:	斜橋による補正率			0.00%	
		β:	曲線橋による補正率			0.00%	

限界状態設計法

材 料 費							
項 目	名 称	規 格	単 位	数 量	単 価	金 額	摘 要
鋼 板	SM520C-H	38<t≤50	t	12.364	111,600	1,379,822	
"	SM490YB	25<t≤38	"	39.752	101,800	4,046,753	
"	SM490YB	t≤25	"	48.356	98,600	4,767,901	
"	SM490A	t≤50	"	82.876	94,300	7,815,206	
"	SM400A	t≤38	"	6.432	85,100	547,363	
副資材費			t	189.780	11,300	2,144,514	
計						20,701,559	

製 作 費							
連続鋼桁							
項 目	名 称	規 格	単 位	数 量	単 価	金 額	摘 要
	直接労務費		人	390.74	27,400	10,706,276	
全体製作工数	$Y = \frac{\{(Y1+Y2) \times K + Y3 + Y4\} \times (1+\alpha) \times (1+\beta) \times (1+\gamma) \times (1+\delta) + Y5}{\text{工数}}$						
	=	390.74					
			Y1: 本体の加工組立工数		285.83		
			Y2: 本体の溶接工数		67.54		
			K: 570材相当品による影響割増		1.00		
			Y3: 本体の仮組立工数		37.37		
			体傾構				
			Y4: 及び横構組立工数		0.00		
			Y5: 付属物の製作工数		0		
			α: 重連による補正率		0.00%		
			斜橋または				
			β: 曲線橋による補正率		0.00%		
			γ: 桁高変化による補正率		0.00%		
			平均				
			δ: 支間長による補正率		0.00%		

製 作 費							
連続板桁							
項 目	名 称	規 格	単 位	数 量	単 価	金 額	摘 要
	本体の 加工組立工数			$Y1 = A1 \times a1 \times K1 + A2 \times a2 \times K2$			
				= 285.83			
			A1:	大型材片数		84個	
			A2:	小型材片数		146個	
			a1:	大型 I 材片当りの橋梁 形式による標準工数		2.73	
			a2:	小型 I 材片当りの橋梁 形式による標準工数		0.48	
			K1:	大型 I 材片当りの 重量による影響係数	KG 183,348	0.95	X= 0.92
			K2:	小型 I 材片当りの 重量による影響係数	6,432	0.97	X= 0.97
	本体の溶接工数			$Y2 = B1 \times b1 / 10 + B2 \times b2 / 10$			
				= 67.54			
			B1:	大型大片板継溶接延長 大型大片		0m	
			B2:	T 継溶接延長(実長) 大型材片板継溶接10m当りの		1,206m	
			b1:	橋梁形式による標準工数		0.81	
			b2:	大型材片 T 継手溶接延長10m当りの 橋梁形式による標準工数		0.56	

製 作 費							
連続板桁							
項 目	名 称	規 格	単 位	数 量	単 価	金 額	摘 要
	570材相当品 による影響割増			$K = 1 + W0 \times K3$			
				= 1.00			
			W0:	570材相当品の 本体加工鋼重に占める割合		0.00%	0kg189,780kg
			K3:	570材相当品 による影響係数		0.28	
	本体の 仮組立工数			$Y3 = C \times c \times K4 \times (1+\epsilon)$			
				= 37.37			
			C:	本体の全体部材数		28個	
			c:	部材の橋梁型式 による標準工数		1.95	
			K4:	I 部材当りの 重量による影響係数	KG 189,780	1.16	X= 1.19
			ε:	仮組立の簡略化による 工数低減		-41%	

製 作 費							
連続鉄桁							
項 目	名 称	規 格	単 位	数 量	単 価	金 額	摘 要
	体傾構及び 横構組立工数						
		$Y4=$		$(C1 \times c1 \times K5) + (C2 \times c2 \times K5)$			
		$=$	0.00				
		C1: 体傾構部材数				0個	
		C2: 横構部材数				0個	
		体傾構 1 部材					
		c1: 当りの標準工数				0.00	
		横構 1 部材					
		c2: 当りの標準工数				0.00	
		(主桁高m x 主桁間隔m)		桁高		体傾構	X=
		K5: 面積による影響係数		0.000m		0.00	0.00
				桁間隔		横 構	
				0.000m		0.00	

製 作 費							
連続鉄桁							
項 目	名 称	規 格	単 位	数 量	単 価	金 額	摘 要
	付属物の 製作工数						
		$Y5=$		$D \times d \times (1 + \alpha) \times (1 + \beta) + E \times e \times (1 + \beta) +$ $F \times f \times (1 + \beta) + G \times g \times (1 + \alpha)$			
		$=$	0.00				
		D: 伸縮継手の加工鋼重				0.000t	
		d: 伸縮継手の標準工数				0.00	
		E: 高欄の加工鋼重				0.000t	
		e: 高欄の標準工数				0.00	
		F: 防護柵の加工鋼重				0.000t	
		f: 防護柵の標準工数				0.00	
		G: 検査路の加工鋼重				0.000t	
		g: 検査路の標準工数				0.00	
		α : 重連による補正率				0.00%	
		β : 斜橋による補正率				0.00%	
		β : 曲線橋による補正率				0.00%	

3.7 結果・考察

3.7.1 主桁断面比較

支間中央（正曲げ）、中間支点上（負曲げ）の各設計法での決定断面を下表に示す。

表-3.7.1 主桁断面比較

支間中央（正曲げ）検討結果

	上フランジ		ウェブ		下フランジ		断面積 (mm ²)	単位重量 (kN/m)	従来比	備 考
	幅(mm)	板厚(mm)	幅(mm)	板厚(mm)	幅(mm)	板厚(mm)				
従来設計法	750	26	2924	15	750	38	91860	0.721	1.000	
少補剛設計法	750	26	2924	21	750	38	109404	0.859	1.191	
波形鋼板ウェブ	750	30	2920	9	750	50	86280	0.677	0.939	・ウェブ延長 未考慮
限界状態設計法	750	24	2926	10	750	35	73510	0.577	0.800	

中間支点上（負曲げ）検討結果

	上フランジ		ウェブ		下フランジ		断面積 (mm ²)	単位重量 (kN/m)	従来比	備 考
	幅(mm)	板厚(mm)	幅(mm)	板厚(mm)	幅(mm)	板厚(mm)				
従来設計法	750	29	2921	20	800	50	120170	0.943	1.000	
少補剛設計法	750	29	2921	20	800	50	120170	0.943	1.000	・従来設計と 同様
波形鋼板ウェブ	750	41	2909	12	800	59	112858	0.886	0.939	・ウェブ延長 未考慮
限界状態設計法	750	24	2926	18	800	45	106668	0.837	0.888	

- ・ JH 少補剛薄板設計では、支間中央で少補剛設計を行なうことで従来設計よりウェブ厚が増加している。また、ウェブ厚が増加することで、フランジ厚が若干減少する断面もみられた。中間支点上は従来設計から変更はない。少補剛薄板設計の前提条件より、適用範囲が正曲げ区間のみに限定されるため、従来設計に比べ正曲げ区間でウェブ厚が増加する以外は大きな断面変化はなかった。
- ・ 波形鋼板ウェブを使用した場合は、支間中央、中央支点上で従来設計に比べウェブ厚が減少しており、特にせん断力の影響が少ない支間中央では大幅に減少している。アコーディオン効果によりウェブが曲げモーメントに抵抗しないため、支間中央、中間支点上ともに、上下フランジ厚は従来設計より増加している。
- ・ 限界状態設計法では、支間中央、中間支点上ともに、従来設計よりウェブ、フランジ厚が減少している。断面計算は前死荷重時、完成時しか行っていないが、特に正曲げ区間においてウェブ厚がかなり薄くなる結果となっているため、施工中（輸送、吊上げ等）の安定性照査を別途行う必要があると思われる。

3.7.2 数量比較

各設計法での数量算出結果から、各数量項目についての従来設計に対する比率を表-3.7.2 に示す。また、鋼重の比較グラフを図-3.7.1 に示す。

表-3.7.2 各設計法数量の従来設計に対する比率

				従来設計法	JH少補剛薄板設計	波形鋼板ウェブ	限界状態設計法
大型材片	材片数		個	1.000	1.000	1.000	1.000
	材片重量	1	kg	1.000	1.101	0.945	0.847
小型材片	材片数		個	1.000	0.531	0.000	0.376
	材片重量	2	kg	1.000	0.574	0.000	0.380
部材数		5	個				
対傾構	加工鋼重	3	kg				
	部材数	7	個				
加工鋼重		1+2+3	kg	1.000	1.063	0.876	0.813
部材数		5+7	個	1.000	1.000	1.000	1.000
板継溶接延長			m				
大型材T継手溶接延長			m	1.000	1.000	1.134	1.000

- JH少補剛薄板設計では、正曲げ区間のウェブ厚が増加したことにより、大型材片重量が従来設計より10%程度増加した。一方、少補剛設計により、小型材片重量、材片数は40%以上の低減となっている。全体鋼重では6%程度の増加となった。

- 波形鋼板ウェブを使用した場合は、ウェブ厚減少の影響が大きく、大型材片重量が5%低減した。また、波形加工よりウェブ補剛材を必要としないため、小型材片重量、材片数が0となり、全体鋼重でも12%の低減となった。ただし、ウェブ形状より、大型材片T継手溶接延長が、13%増加した。

- 限界状態設計法では、大型材片重量が15%程度低減するとともに、ウェブ補剛材を省略する（端支点、中間支点付近は設置する）設計を行なっているため、小型材片重量、材片数も60%以上の低減となり、全体鋼重出は20%弱の低減となった。

- 全体鋼重の比較では、鋼重の重い順に JH少補剛薄板設計→従来設計→波形鋼板ウェブ→限界状態設計の順となった。

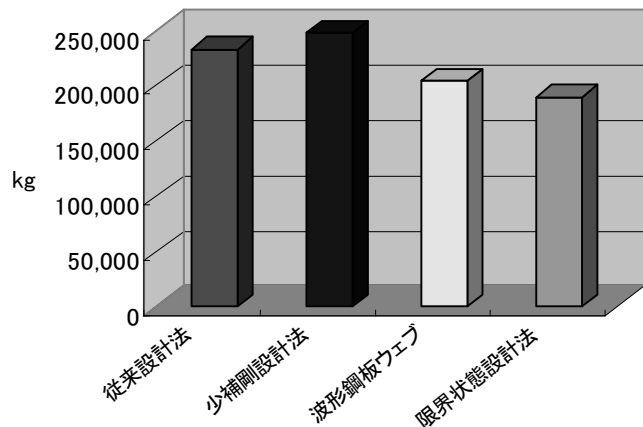


図-3.7.1 鋼重比較グラフ

3.7.3 製作コスト比較

各設計法での製作コスト算出結果から、各設計法での従来設計に対する比率を表-3.7.3に示す。また、製作コストの比較グラフを図-3.7.2に示す。

表-3.7.3 各設計法製作コストの従来設計に対する比率

		従来設計法	JH少補剛薄板設計	波形鋼板ウェブ	限界状態設計法	備考
概算鋼重	t	1.000	1.063	0.876	0.813	
材料費	円	1.000	1.073	0.912	0.811	
製作費	円	1.000	0.888	1.308	0.729	波形のみ塗装費用を含む
間接労務費	円	1.000	0.888	1.308	0.729	製作費×0.38
工場管理費	円	1.000	0.888	1.308	0.729	(製作費+間接労務費)×0.288
合計	円	1.000	0.979	1.112	0.770	

- JH少補剛薄板設計では、大型材片重量が増加することから材料費が7%程度増加するが、小型材片重量、材片数が減少するため製作費が11%低減し、合計コストで2%の低減となった。

- 波形鋼板ウェブを使用した場合は、鋼材重量が減少するため材料費は9%の低減となるが、波型鋼板の製作比が増加することで、製作費で30%の増加、合計コストでも11%の増加となった。ただし、波形鋼板製作費算出に適用した製作歩掛が上フランジを含んだものであること（波形鋼板のみの歩掛なし）、また、波形鋼板の製作歩掛に塗装費用が含まれているという見解もあり、実構造に見合った歩掛を考慮することで製作コスト低減の余地がある。

- 限界状態設計法では、鋼重、材片数の低減により材料費で19%、製作費で27%、合計コストで23%の低減となった。

- 合計コストの比較では、コストの高い順に波形鋼板ウェブ→従来設計→JH少補剛薄板設計→限界状態設計の順となった。

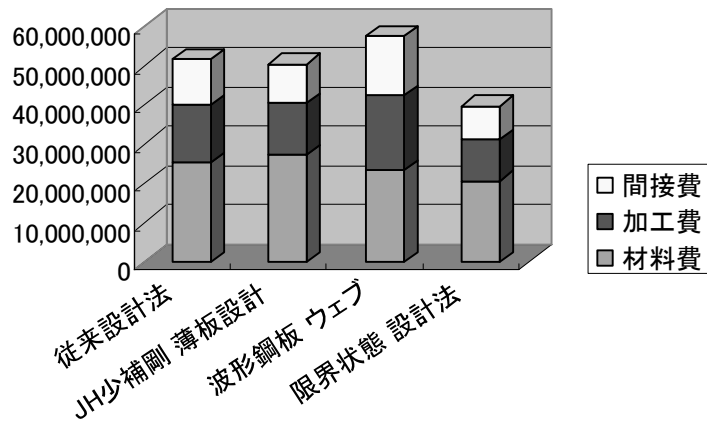


図-3.7.2 製作コスト比較グラフ

3.8 まとめ

- ・同一のモデル橋梁を対象に、種々の設計方法で試設計を行いコストを算出することで、それぞれの設計方法のコスト削減効果を具体的な数値で比較する作業を行った。その結果、設計、積算時の多々の仮定に基づくものではあるが、主桁の製作コストの比較と言う形でコスト削減効果の傾向を確認することが出来た。
- ・JH 少補剛薄板設計は既に施工事例もあり、実際のプロジェクトでコスト削減に寄与しているものであり、今回の検討でもそのコスト削減効果を確認できた。
- ・波形鋼板ウェブを使用した場合については、今回の検討では従来設計よりも製作コストが増加する結果となった。しかし、製作コストを算出するための歩掛が、鋼桁に使用する場合において整備されておらず、高目と思われる歩掛を適用していることから、今後本構造に見合った製作歩掛が整備することにより、製作コスト低減の余地があると考えられる。また、鋼重は従来設計より低減される結果となっており、架設費用も含めた総建設費の面では、有利な面もある。
- ・限界状態設計法については、現状は国内での明確な基準が整備されておらず、今回の検討でも多々の仮定の下での検討となったが、鋼重、製作コストともに大きな低減効果が期待できることが確認できた。今後の鋼橋の競争力強化のためにも、早期の基準整備が望まれる。

参考文献

- 1) 日本道路公団：設計要領第二集
- 2) 「新しいPC 橋の設計」編集委員会：新しいPC 橋の設計,2003.5
- 3) AISI：FOUR LRFD DESIGN EXAMPLES OF STEEL HIGHWAY BRIDGES,1996.5
- 4) 平成 17 年度国土交通省土木工事標準積算基準書(河川・道路編)
- 5) 建設物価調査会：建設物価(H18.10)
- 6) 東・中・西日本高速道路㈱監修：土木工事積算基準(H18.7)